

序 言

地殻の変動が、大地震のときは勿論平時においても徐々に進行していることは、精密水準測量、基線測量、三角測量等の繰返し施行によって明かにされた。測量結果の綿密な解析から知られた地殻の様々の性質は、最近の地震学に大きな貢献をした。特に、精密水準測量は、三角測量に比較して作業が簡単であり、しかも遙かに勝れた精度を以て測定できるので、必要な地域において再三その繰返し測量が行われており、今日では精密水準測量は地殻変動の検出には欠くことのできないものとなった。理想論から言えば、この精密水準測量を日本全域において、少なくとも毎年1回繰返して行えば、日本の地殻変動の全貌が明かになり、且つ大地震に前駆する地殻変動の存在の有無を確かめることができ、地震予知の問題にも大きな役割を果すことができるわけである。しかし、精密水準測量が三角測量に比べて作業が簡単であると言っても、これを広い範囲において絶えず繰返して行うことは、実際には経費の点からもなかなか容易なことではない。

そこで、一地点に何か器械を据付けることにより地殻変動を連続的に観測記録することが必要となる。この目的に副手として、海岸地方では検潮儀がある。言うまでもなく、海水面は潮汐、海流、気圧、海水密度等の影響を受けるが、一年間程度の平均をとれば略一定の値を示し、これを基準として陸地の隆起、沈降を知ることができる。しかし今日ではなお未知な要素による海水面そのものの長期に亘る変動があるので、近接した地点に他の検潮儀を併置して比較する必要がある。将来多数の検潮儀が日本の沿岸に整備された暁には、この器械は海岸地方の地殻変動の検出に大きな役割を果すであろう。

陸地の内部においては、一地点において土地の隆起、沈降を直接測定記録することはできない。それで従来から、近接した二地点間の変位の差を測定する方法がとられている。土地の傾斜変化、土地の伸縮変化等

がそれである。このうち、土地の傾斜変化を記録するいわゆる傾斜計による観測例は今日まで多数あるが、その殆ど総ては水平振子を利用した傾斜計である。

しかし、今日まで行われた水平振子傾斜計による観測結果を見ると、その記録した永年変化の量は極めて大きく、一年間に数秒、十数秒角に達するものは珍らしくない。ところが、精密水準測量から知られた地殻の変動から土地の傾斜変化を算定してみると、そのように大きな値には決してならないのである。このことについては、筆者の一人が発表した「富士山麓に於ける地表傾斜変化の研究」(其の1) (震研彙報第21号〔昭和18年〕)の序文中に詳しく述べてあるが、一例を挙げれば、昭和21年12月の南海地震に際して室戸半島は著しく南上りの傾動を示し、半島の突端においては95 cmに達する土地隆起を生じたのであるが、地震後行われた精密水準測量の結果から半島の傾斜変化の量を算出して見るとら秒角に過ぎない。¹⁾ また昭和5年伊豆伊東に発生した1日数百回に上る地震群に伴って土地が刻々に隆起していることが精密水準測量によつて確かめられた。これなどは地殻変動が進行する速度としては最も大きい部類に属するが、この場合でも傾斜変化に換算すると、変動が最も急速であつた100日間に1秒角に達していないのである²⁾。上の例は地震に伴つて顕著な地殻変動が生じた場合であつて、平時においては推して知るべしである。日本の太平洋岸の諸半島は平時において、南下りの変動が続行していることは、精密水準測量や角端部の検潮記録の結果から知られているが、その傾斜変化の量を調べて見ると、三浦半島年0.05秒、伊豆半島年0.14秒、紀伊半島年0.025秒、室戸半島年0.051秒の程度である。これから推して、平時進行している緩慢な地殻変動から期待される土地傾斜変化の量は、大きい場合でも年に0.1秒

1) 永田武、岡田惇：震研彙報第25号(昭和22年)85頁。

2) 坪井忠二：震研彙報 第11号(昭和8年)438頁。

角のオーダーであるといえる、ところが、水平振子傾斜計の観測が示す永年変化の量が年に数秒、十数秒角、或はそれ以上に達すると云うことは、この器械が示す傾斜変化というものが、地表の極めて局所的の変動であつて、我々の求めている“地殻”の傾斜変化ではないということになる。

精密水準測量の規準となる標石は、地表に据付けられているが、二つの標石間の距離が充分長いということのために水平振子傾斜計において見られたる局所的の擾乱から免れているものと思われる。水平振子傾斜計の台の脚の間の距離を假に30 cm とすると、この器械はこの30 cm という極めて短い距離の間の高低差を測っていることになるから、どうしても局所的の擾乱を受けてしまう。水準測量の標石間の距離は約2 Km であるが、1秒角の傾斜変化は、2 Km の距離に対して10 mm の高低差が生じたことに相当する、ところが、水平振子傾斜計においては、1秒角の傾斜変化は30 cm の距離に1.5 ミクロンという微小の高低差を生じたことに相当する。

水平振子傾斜計が永年に亘る地殻の変動を測定することに失敗した原因は、このように極めて短い距離の間の高低差を測ることによるものである。そこで、筆者の一人は、かつて20 m の水管を筑波山腹の横坑中に設けて、その両端における水位の差をマイクロメーターにより読取ることを試み、数年間に亘つて観測を続け、且つ従来の水平振子傾斜計との比較を行った³⁾。その結果、水管傾斜計の示す土地傾斜の永年変化は、5ヶ年間に1秒角に達しないことが認められ、水平振子傾斜計に比べて遙かに信頼度が高いことが分かった。

このように、地下適當の深さにおいて数十米の水管傾斜計を設置すれば、或る程度局所的の擾乱から免れ、精密水準測量に匹敵する信頼度を持った地殻変動の測定を行うことができる。ただ、場所を地下何米に選ぶ、水管の長さを何米に選ぶべきかは、その場所の地質的條件にも依る

士

であろうし、これは今後の経験に待たなければならぬ。

一方、土地伸縮計については、かつて高橋博士⁴⁾が油槽に浮かした1.5mの熔融水晶の棒を基準にして、両端の土地伸縮を測る装置を東京駒場の設置したことがあり、近頃では佐々博士が考案した25mの超不変鋼線を使用した装置がある。これ等の土地伸縮計は何れも十数米、二十数米を距てた二つの地点間の距離の変化を測定するものであるから、水管傾斜計と同じ行き方であつて、この点水平振子傾斜計に見られるような土地の局部的擾乱を受けることは少ない。

今西筆者等は三浦半島油壺において地殻変動の研究に従事する機会を得た、こゝには東大理学部臨海実験所の施設があり、また戦時中作られた良好な横坑があつて、地殻変動測定用の器械を据付けて試験するには好條件を備えている。また、こゝには地理調査所の検潮儀が設置されており、こゝの平均海水面は我國水準原点の標高を定める基準となつている関係から、三浦半島には水準線路が設けられていて屢々精密水準測量が行われている。このため、三浦半島の地殻変動の進行状態は或る程度まで知られているので、新しい地殻変動の観測器械を設置して試験するには好都合である。

筆者等は先ず、臨海実験所本館附近の横坑内において、水管傾斜計、水晶管による土地伸縮計及び比較のため従来の水平振子傾斜計を設置した。後になつて、超不変鋼線による土地伸縮計も設置された。要は、各種の新しい測定器を設置して観測を続け、信頼するに足り、且つ普及性を持つた地殻変動の器械観測法を確立しようとするものである。研究の第一の目標は地殻の永年変化であるが、測定箇所が海岸に近いため潮汐荷重による土地の傾斜、伸縮が明瞭に記録される結果、これは新しい測定器械の良否を速断するのに夫変役立つている。また潮汐荷重による土地変形を、傾斜変化、伸縮変化の両面から取扱つて見た結果は、土地の物

4) 高橋意太郎、震研彙報第12号(昭和9年)、760頁

理的性質について色々の問題が提出された。

以下章を遡つて、測定器械、観測、観測結果に対する考察等について述べる。この研究は、更に長年月続けられて始めて結果らしい結果が出る性質のものであるが、こゝに一年間の成果をまとめて、速報とし諸賢のご批判をおおき大進なきを期する次第である。

なお、昭和23年6月9日に開催された第7回地震予知研究連絡委員会において三浦半島に各機関による各種の観測を遂中するよう申合せが行われたが、筆者等の研究がその共同観測の一翼を担うことになり得れば幸である。

本研究は、主として文部省科学研究費によるものである。また、油壺臨海実験所の故菊地健三教授他所賢の方々には常に非常なお世話になった。こゝに厚く感謝を捧げる次第である。

第1章 観測器械

1. 水管傾斜計

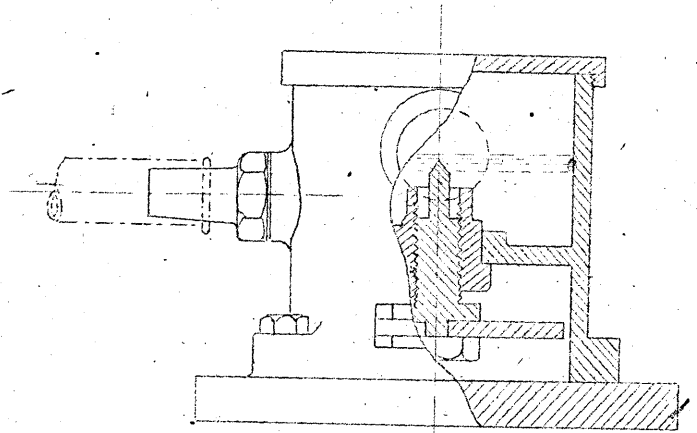
(i) 水管傾斜計

水管を使つて、その面端の水位の差から土地の傾斜変化を測定する装置は古くは *Michelson* の傾斜計があり、これと同じ型のものが地震研究所にも据付けられて観測されたことがあるが¹⁾ 石本博士によりシリカ製の水平振子傾斜計が考案されるに及んで専らこの器械による観測が盛になつたため、水管傾斜計は一時全く省られなくなつた。しかし、十余年間に亘る観測の経験から、前に述べたように地殻の緩慢な変動を観測するには水平振子傾斜計は不適當であることが判明したので、再び水管傾斜計の研究が取上げられるようになった。筆者の一人は数年前、震研筑波山支所構内に設けられた横坑内に20米の水管傾斜計を据付け

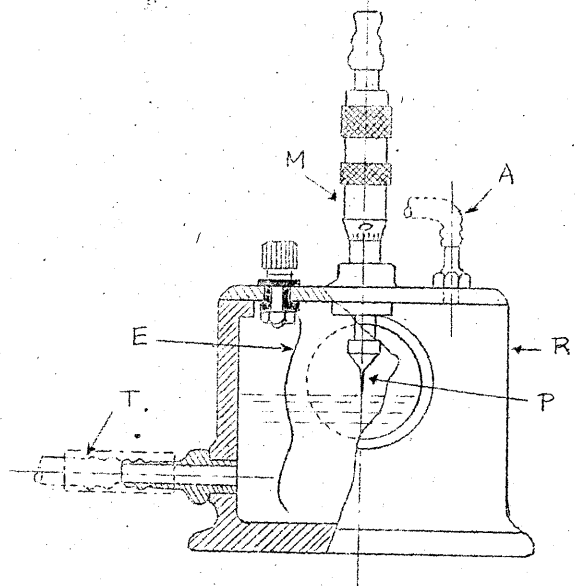
1) 高橋竜太郎、震研彙報第8号(昭和5年)143頁

て今日まで観測を続け好成績を得た²⁾この器械は、従来の水管傾斜計が太い鉄管を使用したのに対し、両端の容器の向を細い硝子管で結び、装置を頗る簡單にして普及性を持たせたのが特色である。この傾斜計では、両端の容器中の水位の読取りは、容器の下部に取付けられたマイクロメーターのスピンドルの先端が水面に接するのを検微鏡によって判定するようになっている。便宜上、この器械をA型水管傾斜計と呼ぶことにする。

その後、マイクロメーターに市販のものを使用することを試み、これを水面の上部に取付け、マイクロメーターの先端が水面に触れた瞬間、電気回路が閉じられネオンランプが点するようになった。この方法によれば、読取の操作は大変に楽になる。この装置は、南海地震後室戸町において使用



第1図 A型水管傾斜計

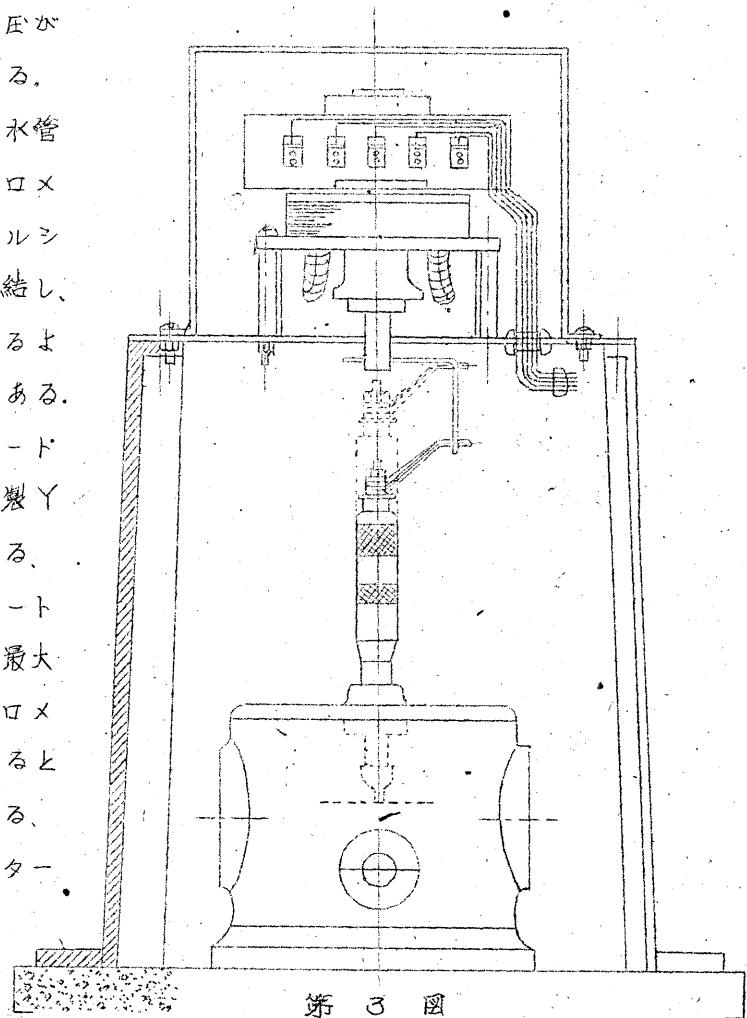


第2図 B型水管傾斜計

し好い結果を得た³⁾ので、第2図に示すような装置に仕上げた。これをB型水管傾斜計と呼ぶことにする。図において、Rは水を蓄す容器、Tは硝子管、Mはマイクロメーター、Pは白金製先端、Eは電極である。Aはゴム管であつて、坑内に一定の通風がある場合などは、両端の容器に気圧差を生じて水位に影響を與えることがあるので、このようなとき両容器をこのゴム管で繋ぎ、容器の内部をエアータイトとして両容器の水面に加わる気圧が等しいようにする。

第3図はB型水管傾斜計のマイクロメーターに小型セルシンモートルを連結し、遠隔読取が出来るようにしたものである。今回使用したモートルは、北辰電機製Y-M-14型である。試験の結果、モートルの追従誤差は最大約2°で、マイクロメーターに換算すると $\frac{3}{1000}$ mmである。

マイクロメーター

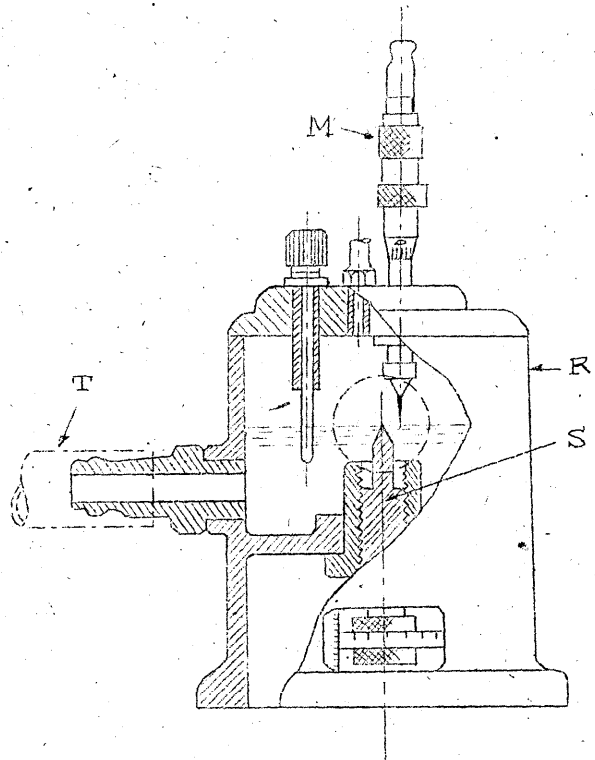


セルシンモートルによるB型水管傾斜計遠隔読取

3) 萩原尊礼、山田重平、震研速報第5号(昭和22年)179頁

の先端が水面に接することを判別するために、100Vのネオンランプが点灯ようになっていたが、先端が水面に接したときネオンランプに流れる電流は約1.3 mAである。実験室において、白金製先端を水面に接触させたり離したりすることを、自動的に約5万回行って見たが、この結果は顕微鏡にて先端の変形を認めなかつた。しかし、実際油壺において約一ヶ月観測した結果は、全個のマイクロメーター中2個が、先端が電流によって浸蝕された。

これは恐らく白金中に不純物が含まれていたものと歸納されるが、このようなことが起ると観測結果が不正になるので、B型の装置を改造し、第4図に示すようにA型とB型とを併置したような装置を作った。図でRは容器、Tは硝子管である。Sは水中に設けたマイクロメーターでこの先端が水面に接するところを顕微鏡で読取る。Mは電気的な方法で水面に接した



第4図 C型水管傾斜計

ことを識別するためのマイクロメーターである。遠隔操作にはMのマイクロメーターを使用し、随時Sのマイクロメーターにて直読してチェックをするのである。この装置をC型水管傾斜計と呼ぶことにする。

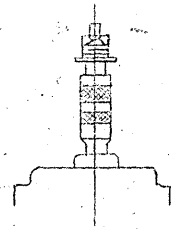
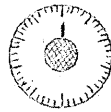
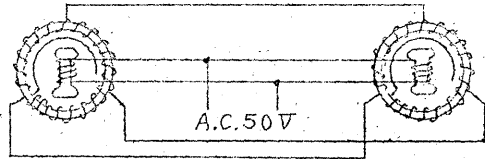
(ii) 水管傾斜計遠隔測定装置

水管傾斜計の両端の水位を読みとるために、観測者が数十米の距離を往復するのは実際にあたりて不便である。また密閉した坑内に於て観測

者が急速に移動するための気圧の変化が水位に影響を及ぼすことと実際に経験されることであるので、遠隔読取を行うことが望ましい。

すでに述べたように、筆者等はセルシンモートルを利用することにより遠隔測定装置を考案した。第5図に模式的に示すように、水位を測定

するマイクロメーターはその上に取りつけられたセルシンモーターによって廻転させられる、このセルシンモーターは別のセルシンモーターによって遠い場所に於て自由に廻転させることが出来る、かくして測定場所にネオンランプを備えれば、マイクロメーターの光端が水面に達した瞬間に読み取りを行うことが出来る。



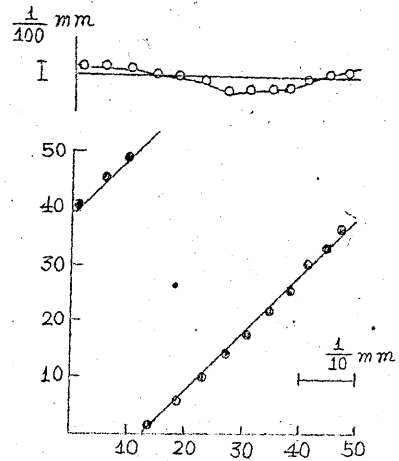
第 5 図

セルシンモーターは回路抵抗が 40 オーム程度である時は、最大 100 程度程度のトルクを出し得るから、マイクロメーターを廻転させることは容易であり、発信セルシンのダイヤルを徐々に廻転すれば全く遅れを生ずることなくマイクロメーターを廻転させることが出来る。

セルシンモーターはそれ自身最大約 2° の誤差をまつているが、セルシンモーターの一廻転に対してマイクロメーターは 0.5 mm すすむのであるから、この遠隔操作のためにマイクロメーターは最大約 $\frac{3}{1000} \text{ mm}$ の誤差をまつことになる。この量は普通級のマイクロメーターの誤差の程度であり、長さ 10 m 以上の水管傾斜計に於いて 0.1 秒の変化を正確に測定することを目的とする場合はほぼ無視出来る。

この装置の較正試験として、次のようなことを行つた。両端の水槽をならべておき、2~3滴ずつ水を加えて行き、両方のセルシンモーターの読みの増減の仕方をしらべた。その上例は第6図に示してあるように、おのおのの読みを両軸にとつたグラフ上においては測定値はほとんど

45°の直線上にのり、 $\frac{1}{1000}$ mm の桁に於いて若干のばらつきがある。直線と測定値の差を拡大して画いた図をみると、この差は角度に対してほぼ正弦的に変化しており、較正の結果より常数を定めて補正を実行することにより $\frac{1}{1000}$ mm 以内の誤差にて遠隔測定を行うことが可能である。しかし実際の場合には補正を加えずとも0.1秒の正確度を保持することが可能であるの



第6図

で、かかる操作は現在の状態に於ては不必要である。

セルシンモーターはその構造が極めて簡単であり、またすでに古から実用化されているものであるから、故障のおそれはほとんどなく、油壺に装置して以来遠隔測定装置の故障は現在迄で全くない。

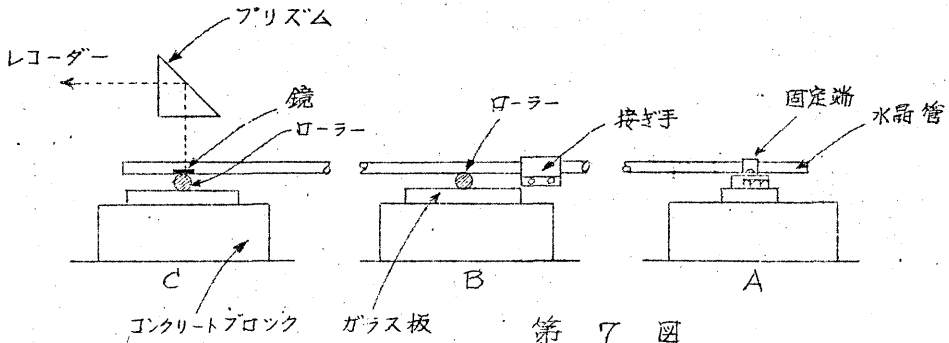
2. 水晶管土地伸縮計

(i) 長期観測用水平型伸縮計

構造 こゝに述べる伸縮計はいずれも熔融水晶管の長さを規準として、土地に固定した二つのコンクリートブロック間の距離の変化を測定する装置である。水晶管の一端を一方のブロックに固定すれば、土地の伸縮は水晶管の他端と、もう一方のブロックとの相対的な動きで示されるから、之を適当に拡大して記録すればよい。嘗て同じ原理に基いた伸縮計を高橋博士が試作された⁴⁾。以下に述べるものは更に簡便な構造をもち、又十分実用になることをたしかめられたものである。その概略は第7図に示される。

水晶管は外径7 mm、長さ1 mのものを磷青銅製の接ぎ手により所要

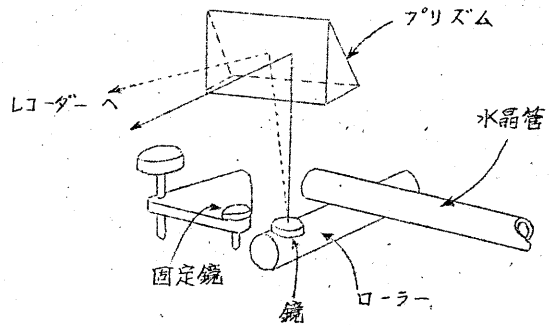
4) 高橋龍太郎、震研彙報第12号(昭和9年)760頁



第 7 図

の長さ (8 ~ 25 m) に連結し、その一端がインバール製の金具によりブロック A に固定されている。ブロック B は上面にガラス板が置かれ、その上にのせられたローラーにより水晶管の途中を支えているもので、1 m 間隔に設けられている。ブロック C は拡大記録装置を有するもので、水晶管の終端とこのブロックの相対的な動きはローラーの回転に換えられる。ローラーは直径 7 mm 程度の真鍮製で各々公差 $1/200$ mm に仕上げてあり、その微小な回転は光挺子式に拡大され、プリズムによって水平方向のみれに換えられ、印画紙に記録される。このプリズムは水平及び垂直軸のまわりに微小回転出来るようになっていて、光点の位置調節の便宜を計っている。第 8 図はこれらの配置を示すので、固定鏡は印画紙上に基線を描く。

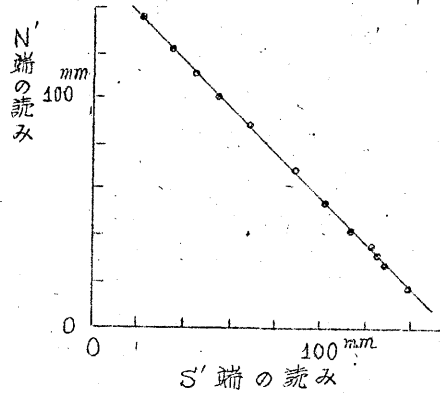
コンクリートブロックの寸法は A 及び C が 20 cm 角、B が 15 cm 角で、設置後相当日数がたち、充分枯れてから使用する。現在この型式のものは三台設けられているが、その位置及び設置状態は第 18 図、字表 2 を参照されたい。



第 8 図

機能試験 燐青銅の接ぎ手で連結された水晶管が全体として剛体的に依動するかどうかという点を確認するため、据付に当って簡単な試験を行って見

た。水晶管の両端を自由にしたまゝ同一直径のローラーに載せ、同一倍率の光挺子により夫々動きを読取ることにした。第9図はその結果であつて、伸縮計の一つ、N'S'方向のものに対する試験である。黒点は、このように設置した水晶管を微小な範囲で数回往復させた場合、スケール上の光点の読みであつて、殆んど完全に直線上に集つている。このことから見て水晶管を連結しに部分の機械的安定性については信頼がおけると思われるし、又拡大機構の動作が円滑な事も判る。



第 9 図

次に温度変化の影響を考えるに、水晶管、燐青銅の線膨脹係数は夫々 0.5×10^{-6} 、 2×10^{-5} 程度である。従つて純然たる熱膨脹のみ考えるならば、伸縮計全体としての温度 1°C の上昇に対する伸長量は 10^{-6} 以下であり、環内の温度の日変化振幅がその数分の1であることを考えれば、 10^{-6} の何倍かに達する短期変動を取扱う上には一応問題ない。

しかし長期に亘る変動観測の場合は、温度の変化範囲も広くその影響分の分離も困難であつて、それに対する考察は第3章で行ふことにする。

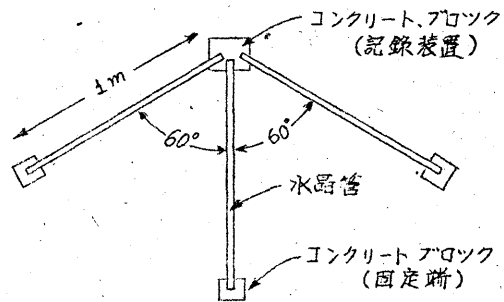
(ii) 小型三成分伸縮計

構造 土地の歪の状態を運動学的に表現するには、二次元の場合、三つの異なる方向の伸縮量があればよい。前節で述べた伸縮計もその意味で三方向に設けてあるが、何分大がかりなものである。この欠点を補い、移動観測にも用いる目的で試作したのが以下に述べる伸縮計である。

原理的には前者と別段異ならないが、スパンが 1m にとつてあること、互に 60° ずつ開いた三組の伸縮計を一台にまとめてあり、同一紙上に記録する為光学系が若干複雑になっている点等が相違している。

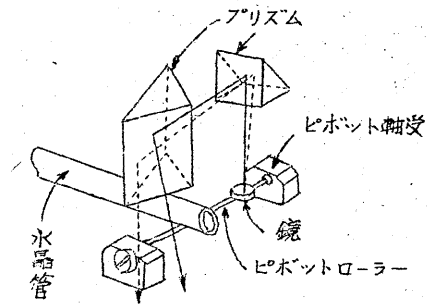
ブロックの配置は第10図の通りであつて、用いる水晶管も前と同じ

であるが、倍率が大きい為にローラーと接触する部分は一層滑らかな水晶管を焼ついたのである。前の型の倍率は約300であったが、1mのスペンで之と同程度に土地の伸縮を記録する為には約2000倍の倍



第 10 図

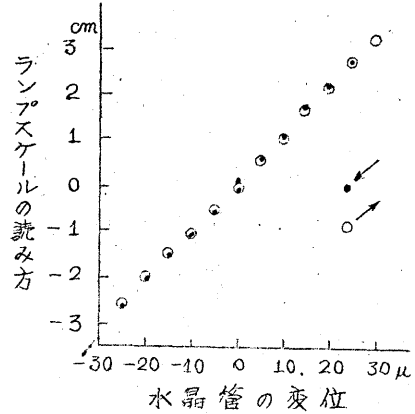
率を必要とする。その為ローラーには直径 2.0 mm (公差 0.01 mm) の鋼線のピボットしたものをを用いる。装置の主要部はこのピボットローラーを水平位置に配置した台板と、大小 6 枚のプリズム及び固定鏡を有するプリズム台からなる。これらの模様は写真に見られるが、三枚のローラーの回転から生じた光線のふれは一旦夫々のプリズムによって水平な向きに直された上、次のプリズムで平行に揃えられる(第11図参照)。写真に見られる調節ねじは之等のプリズムを微動させるもので、装置を設置後 4 枚の光点 (固定鏡によるものを含む) を印画紙上適当な位置に配列するに用いる。主要部をのせるブロックは 48 cm 角であり、固定端となる三つのブロックは之より小さい。



第 11 図

機能試験 ピボットローラーの動きが完全に土地伸縮を表わすか否かの点について試験を行うた。その方法はマイクロメーターを利用して水晶管を微小変位させ、それによつて擦られるピボットの回転を光挺子式に読取つて見た。第12図はその結果の一例であつて、あるピボットローラーの動きを 1m の光挺子で拡大した場合を示す。水晶管はそれ自体の重みだけでローラーに接触しているのであるが、上の試験の結果では滑りは全く認められず、ローラーの回転も略々円滑である。尚ローラー

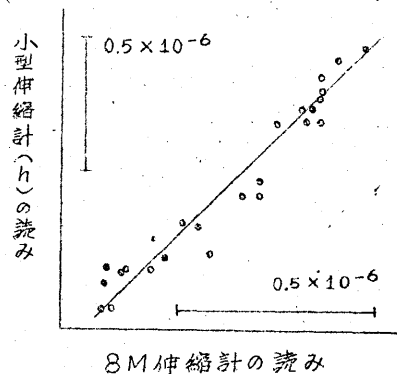
に触れる水晶管の表面が普通のものと、更に滑らかなものとの場合を比較して見ると、後者の方が無難なようである。依つて実地には後者を用いることとし、この場合に対する動作試験からミゲのピボットの実倍率を求めて見ると1700乃至1800倍であることが判つた。この値はローラー毎に固有のもので、水晶管の触れる位置には殆ど関係しない。



第12図

以上の試験からピボットローラーの動作には欠陥がなく、高倍率伸縮計用として用いられることが判る。次に試験すべき点は、実際に記録される土地の伸縮が、前節の大型伸縮計によるものと同一であるか否かということである。この問題は次章でも採上げられるが、観測壕内で行つた試験の結果は第13図の通りである。比較されたのは余り長くない(半日乃至1日程度)の週期の、 $N25^\circ$

W方向の土地伸縮である。図より判る通りこの試験の結果は大體満足すべきものであつて⁵⁾、しかも短い期間では、小型伸縮計の記録を大型伸縮計のそれと同一に考えて差支えない。この伸縮計は今尚観測壕の一隅で試験観測を続けて居り(第26図参照)、やがては油壘附近の各地点を移動観測する予定である。

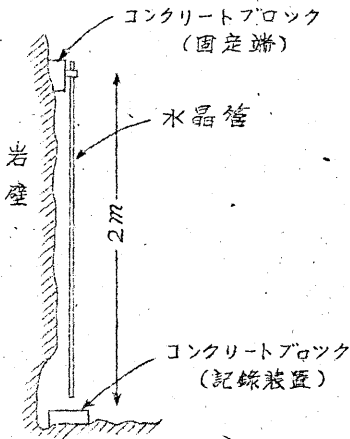


第13図

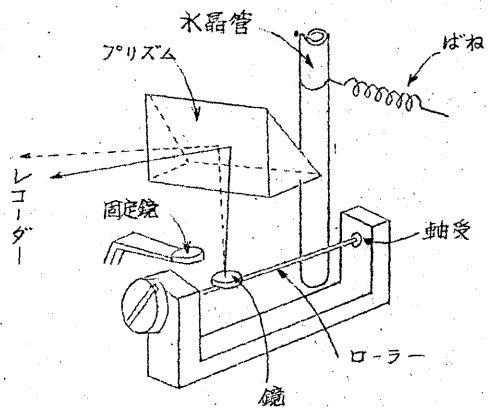
5) 同図に見られる多少のばらつき多くは位相及び振幅の読取り誤差によるものと思われる。

(iii) 鉛直型伸縮計

構造 前述の伸縮計はいずれも水平方向の土地伸縮を対象とするものであつたが、次に述べるのは土地の鉛直方向の伸縮を観測しようとするものである。原理的には前二者と同一であつて、第14図のように設けられたブロックAに水晶管の一端を固定して垂下らせ、下の端とブロックBとの動きを第15図のような機構によつて拡大記録させるものである。スパンは2.0 mにとり、ピボットローラーは直径2.0 mm、使用する



第 14 図

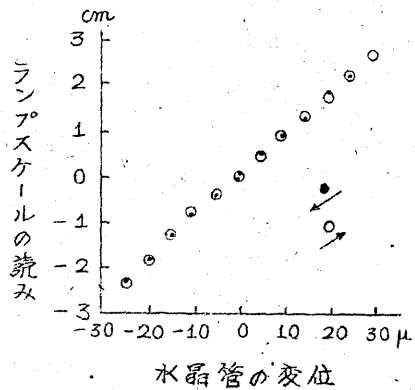


第 15 図

る水晶管は前と同種のものを弱いばねでローラーに軽く接触させている。

機能試験 ピボットローラーの動作については(ii)の場合と同じ装置によつて試験を行った。第16図はその結果であつて、ピボットに異常のないことが確かめられる。又倍率を同図から求めると1 mの光挺子に対して2100倍となる。

実際に観測を行っている位置は第26図を参照されたいが、同図で得られた記録の一例が写真5に示されている。



第 16 図

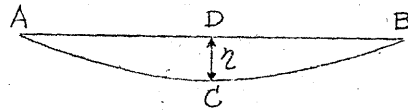
尚温度変化に対しては特に試験を行つてないが、構造の類似から見て (i) の場合の考察が大体適用されるであろう。

3. 超不変鋼線土地伸縮計

適当な距離の間に超不変鋼線 (*Super-invar wire*) を張って、これを基準にして土地の伸縮を測定することは、既に佐々博士等により行われてゐる。この方法によれば、水晶管土地伸縮計のように、水晶管を支えるためのコンクリート柱を等間隔に何本も設ける必要がなく、この点頗る簡單であるが、鋼線に大きな張力が働き続けるので、長期変動の観測では、材料の匍蝕現象が問題になる。筆者等は今回、25 m の超不変鋼線土地伸縮計を製作したが、これを油壺における25 m 水晶管土地伸縮計と併べて設置し、両種の伸縮計の利害得失を吟味することとした。

今回製作した超不変鋼線土地伸縮計の原理は第17図のように鋼線の両端 A, B をコンクリート・ブロックに固定し、鋼線に CD なる僅かの弛

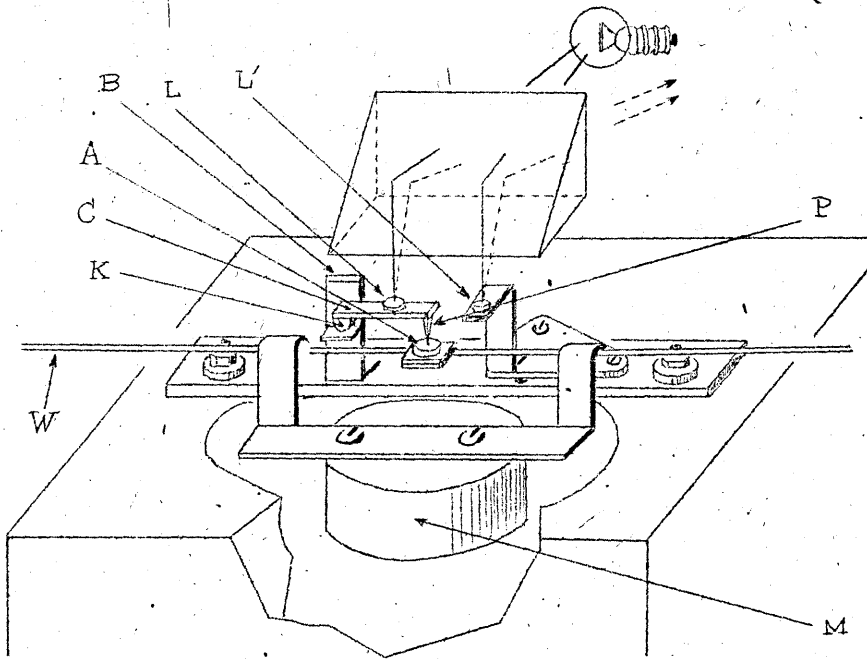
みを持たせておく。もし固定点 A, B 間の距離が土地の伸縮により増減すれば、それに相当して弛み C D の長さは増減する。従つて C 点



第 17 図

の上下の変化を拡大して記録すれば、土地伸縮を記録できることになる。実際に鋼線の中央点 C の上下運動を拡大するには第18図のような方法をとつた。図において、A は鋼線の中央部に取付けた小さな金具、B は大地に固定された金具である。C はナイフ・エッジ K とピボット P からなる一種の挺子で、N は B の上に、P は A の上に乗る。C にはレンズ鏡 L が付けてある。鋼線の中央の上下の動きにより、挺子 C は回転し、従つて鏡 L が回転する。この鏡の回転を利用し、光挺子の方法で感光紙に C の上下の変動を記録する。

今回使用した超不変鋼線は、昭和23年度における文部省科学試験研究 (標準尺用不変鋼の製造) によつて試作された材料の一部であつて、



W 鋼線、 A 鋼線に取付けた小金具、 B 大地に固定された金具、 C 挺子、 K ナイフ・エッジ、 P ピボット、 L レンズ鏡、 L' 固定鏡、 M 錘

第18図 超不変鋼線土地伸縮計の拡大記録装置

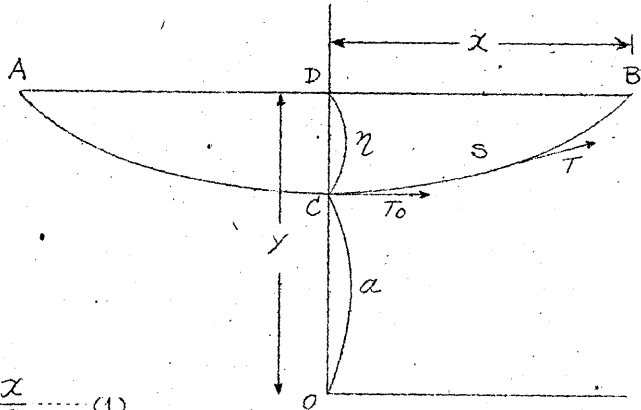
鋼線そのものの物理的諸性質は現在各研究担当者によって試験されているので、別の機会に発表される筈であるが、ここに必要な諸常数を掲げれば次の通りである。

成分	Fe 62.5%	Ni 34%	Co 3.5%
線膨脹係数	0.3×10^{-6} より小 (精密測定は未了)		
密度	7.8		
ヤング率(E)	12×10^{11} c.g.s.		
鋼線外径	1.7 mm		
鋼線線密度(σ)	0.177 g ² /cm		
鋼線断面積(A)	0.0227 cm ²		

次に鋼線伸縮計において、土地の伸縮が線の弛みにどのような変化を

興えるかを調べて見る、第19図において $A C B$ を鋼線とする、先ず、 C には錘を付けない場合を考える。

図のように、座標軸を送れば、線の依る懸垂線 (Catenary) は次式で表される。



$$y = a \cosh \frac{x}{a} \quad (1)$$

$$s = a \sinh \frac{x}{a} \quad (2)$$

第 19 図

$$\eta = y - a = a \left(\cosh \frac{x}{a} - 1 \right) \quad (3)$$

$$\therefore \text{よ} \quad a = \frac{T_0}{\sigma g}$$

であつて、 T_0 は鋼線の水平張力、 σ は鋼線の線密度である。

いま、 x が $x + dx$ に変化し且とき、 η は $\eta + d\eta$ になるものとする、このとき、鋼線の張力変化及び伸縮によつて T_0 及び σ が変化する、 a は $a + da$ に変化する。張力変化により鋼線の長さ s は変化するが、鋼線の弛みが余り大きくない限り充分な近似において $T = T_0$ と考えることができるから、

$$S = S_0 \left(1 + \frac{T_0}{EA} \right) = S_0 (1 + \epsilon a) \quad (4)$$

$$\text{但し、} \quad \epsilon = \frac{\sigma g}{EA} \quad (5)$$

と書くことができる、 S_0 は張力零のときの鋼線の長さ、 E はヤング率、 A は鋼線の断面積である。 S_0 は温度一定ならば常数であるが、温度変化を考慮に入れれば S_0 は $S_0 + dS_0$ になる、 ϵ は σ 、 A 、 E 等の変化に伴つて変るが、このうち温度変化による E の変化のみが大きい影響を持ち、後に分るよふに σ 、 A は一定常数と見てよい、そこで、 ϵ は $\epsilon + d\epsilon$

に变化するものとする、 dk と dE の間には $dk/k = -dE/E$ の関係がある。さて、(2)と(4)より、

$$S_0(1+ka) = a \sinh \frac{x}{a} \dots\dots\dots (2')$$

となる、そこで(2')及(3)について夫々全微分を採れば、

$$\begin{aligned} (1+ka)ds_0 + S_0kda + S_0adk \\ = (\sinh \frac{x}{a} - \frac{x}{a} \cosh \frac{x}{a}) da + \cosh \frac{x}{a} dx \dots\dots (6) \end{aligned}$$

$$d\eta = (\cosh \frac{x}{a} - 1 - \frac{x}{a} \sinh \frac{x}{a}) da + \sinh \frac{x}{a} dx \dots\dots (7)$$

上の二式から da を消去すれば、

$$\begin{aligned} d\eta = \frac{(-\cosh \frac{x}{a} dx + (1+ka)ds_0 + S_0adk)(\cosh \frac{x}{a} - 1 - \frac{x}{a} \sinh \frac{x}{a})}{\sinh \frac{x}{a} - \frac{x}{a} \cosh \frac{x}{a} - S_0k} \\ + \sinh \frac{x}{a} dx \dots\dots\dots (8) \end{aligned}$$

となる、この式は dx, ds_0, dk と $d\eta$ との間の関係を與える、もし、鋼線の弛みが小さく、

$$\eta \ll x \quad \text{ならば} \quad x \ll a$$

であつて、第一近似として(3)により、

$$\frac{a}{x} \approx \frac{x}{2\eta}$$

となる、また1に比べて ka は小さい、従つて(8)の高次の項を省略すれば、

$$d\eta \approx -\frac{3}{2} \frac{a}{x} \frac{1}{1+3(\frac{a}{x})^3 S_0 k} (dx - ds_0 - S_0 adk) \dots\dots\dots (9)$$

$$\approx -\frac{3}{4} \frac{x}{\eta} \frac{1}{1+\frac{3}{8}(\frac{x}{\eta})^3 S_0 k} (dx - ds_0 + \Delta S_0 \frac{dE}{E}) \dots\dots\dots (10)$$

となる、こゝに、 $\Delta S_0 = S_0 ka$ であつて、使用状態における S_0 の伸びである、もし $E = \infty$ ならば $k = 0$ 、従つて、

$$d\eta = -\frac{3}{4} \frac{x}{\eta} (dx - ds_0) \dots\dots\dots (11)$$

である。

先に、(5)の σ , A を常数と見做したが、実は σ , A は鋼線の長さや張力の変化に伴つて複雑な変化をするわけである、しかし、そのオーダーを当つて見ると、 $d\sigma/\sigma$ も dA/A も共に ds_0/s_0 或は dx/s_0 のオーダーである、ところで

$$\frac{dk}{k} = \frac{d\sigma}{\sigma} - \frac{dA}{A} - \frac{dE}{E}$$

であるから、(9)の右辺のカッコの中は

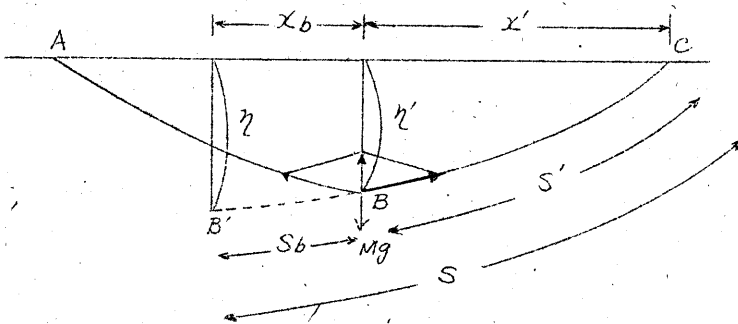
$$dx - ds_0 - \Delta S_0 \frac{dk}{k} = dx - ds_0 - \Delta S_0 \left(\frac{d\sigma}{\sigma} - \frac{dA}{A} - \frac{dE}{E} \right)$$

となる、これを S_0 で割れば

$$\frac{dx}{S_0} + \frac{ds_0}{S_0} - \frac{\Delta S_0}{S_0} \left(\frac{d\sigma}{\sigma} - \frac{dA}{A} - \frac{dE}{E} \right)$$

となる、 $\Delta S_0/S_0$ は小さい量で実際には 10^{-3} のオーダーであるから、 ds_0/S_0 に比べて $\frac{\Delta S_0}{S_0} \frac{d\sigma}{\sigma}$, $\frac{\Delta S_0}{S_0} \frac{dA}{A}$ は省略できる、従つて、 σ , A の変化を考えなくてよ、その影響は無視できる、しかし、温度変化 1°C に対し、 dE/E は 10^{-4} のオーダーであり、 ds_0/S_0 及び dx/S_0 は $10^{-6} \sim 10^{-7}$ のオーダーであるから、温度変化が大きいときは $\frac{dE}{E}$ は無視できない。

次に、鋼線の中央に錘 M を取附けた場合を考えてみる、第20図にお



第 20 図

いて、ABCを鍾Mを取付けの場合の懸垂線とする。いま、鍾のない一つの自由懸垂線B'BCを考え、その最下部がB'であるとする。そして、この自由懸垂線のB点における張力の鉛直成分が、丁度 $Mg/2$ であるとする。BCの部分の懸垂曲線は全く、BにMなる鍾を付けたときの懸垂曲線と一致する。AC間の距離を $2x'$ 、鋼線の長さを S' とし、図のように x_b, s_b を取り、仮想懸垂曲線のB'B部分の釣合(力の鉛直成分)を考えれば、

$$\frac{Mg}{2} = \sigma g s_b = \sigma g a \sinh \frac{x_b}{a} \quad \dots \dots \dots (12)$$

従つて、

$$\begin{aligned} S' &= S - s_b = S - \frac{M}{2\sigma} \\ &= a \sinh \frac{x_b + x'}{a} - \frac{M}{2\sigma} \quad \dots \dots \dots (13) \end{aligned}$$

$$\eta' = a \left(\cosh \frac{x_b + x'}{a} - \cosh \frac{x_b}{a} \right) \quad \dots \dots \dots (14)$$

となる。こゝで、 x' が $x' + dx'$ に変化した場合を考えると、 x_b は $x_b + dx_b$ になり、 η' は $\eta' + d\eta'$ になり、 a は $a + da$ になり、変化する。前と同様に、

$$S' = S_0 (1 + k a) \quad \text{但し} \quad k = \frac{\sigma g}{EA} \quad \dots \dots \dots (15)$$

とおけば、 S_0 は温度変化により $S_0 + dS_0$ に変化し、 k は温度変化による E の変化に伴い $k + dk$ に変化する。従つて、(13)は

$$S_0 (1 + k a) = a \sinh \frac{x_b + x'}{a} - \frac{M}{2\sigma} \quad \dots \dots \dots (16)$$

となる。前と全く同様に(12)、(16)、(14)の全微分を取り、 da, dx_b を消去すれば、

$$\begin{aligned} d\eta' &= \frac{(-\cosh \frac{x_b + x'}{a} dx' + (1 + k a) dS_0 + S_0 dk) \left(\cosh \frac{x'}{a} - 1 - \frac{x'}{a} \sinh \frac{x_b + x'}{a} \cosh \frac{x_b}{a} \right)}{\sinh \frac{x'}{a} - \frac{x'}{a} \cosh \frac{x_b + x'}{a} \cosh \frac{x_b}{a} - S_0 k \cosh \frac{x_b}{a}} \\ &\quad + \sinh \frac{x_b + x'}{a} dx \quad \dots \dots \dots (17) \end{aligned}$$

鋼線の弛みが小であれば、 $x_b \ll a$, $x' \ll a$ であつて、

$$x_b \approx \frac{M}{2\sigma}$$

$$\frac{a}{x'} \approx \frac{x'}{2\eta'} \left(1 + \frac{M}{\sigma x'}\right)$$

となる。従つて前の場合と同様に(17)の高次の項を省略すれば、

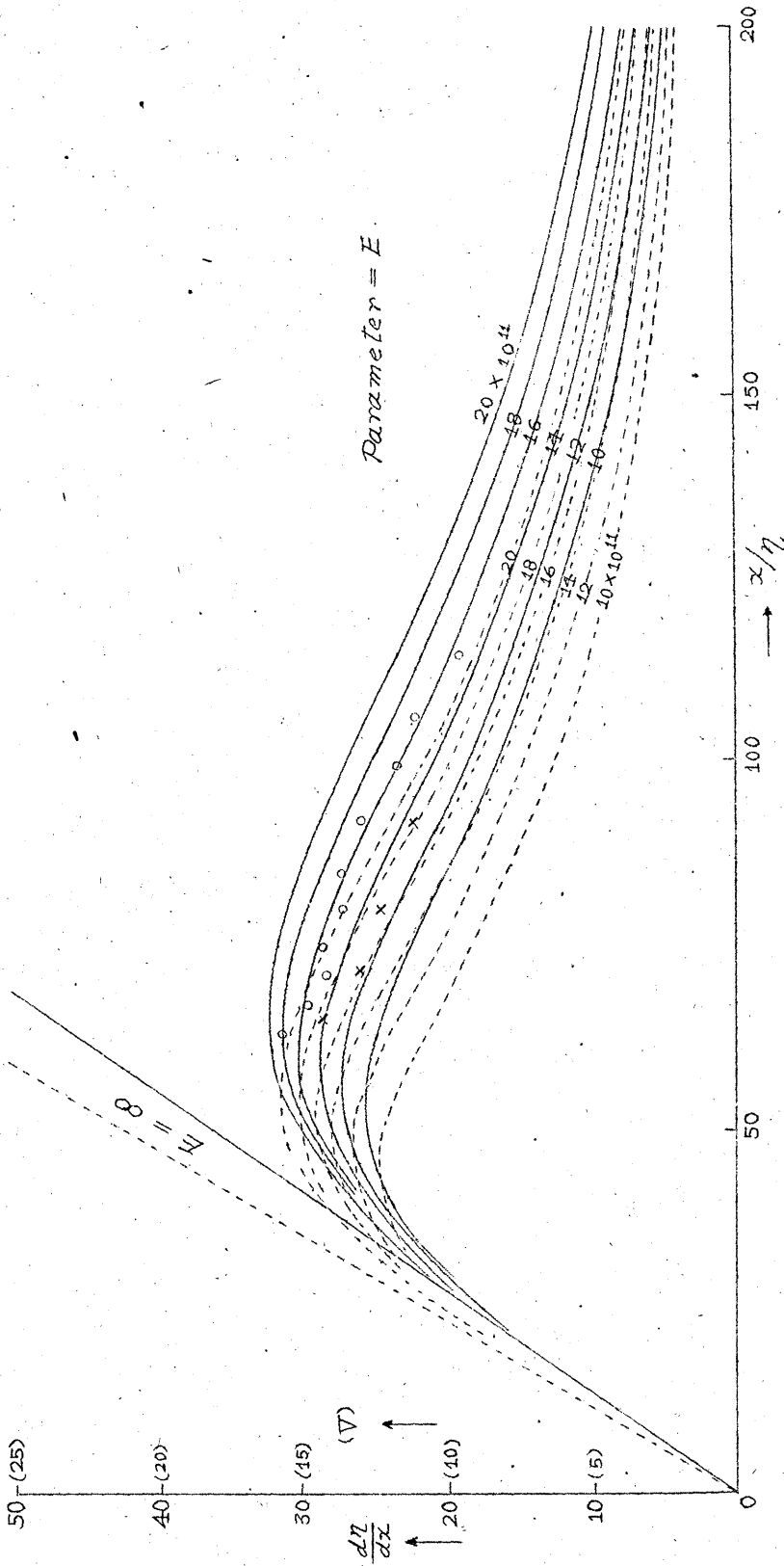
$$d\eta' = - \frac{\frac{3}{2} \frac{a}{x'} \left(1 + \frac{M}{\sigma x'}\right)}{1 + \frac{3}{2} \frac{M}{\sigma x'} + \frac{3}{4} \left(\frac{M}{\sigma x'}\right)^2 + 3 \left(\frac{a}{x'}\right)^3 S_0 k} (dx' - ds_0 - S_0 a dk)$$

$$= - \frac{\frac{3}{4} \frac{x'}{\eta'} \left(1 + \frac{M}{\sigma x'}\right)^2}{1 + \frac{3}{2} \frac{M}{\sigma x'} + \frac{3}{4} \left(\frac{M}{\sigma x'}\right)^2 + \frac{3}{8} \left(\frac{x'}{\eta'}\right)^3 \left(1 + \frac{M}{\sigma x'}\right)^3 S_0 k} (dx' - ds_0 + \Delta S_0 \frac{dE}{E}) \dots \dots \dots (18)$$

となる。

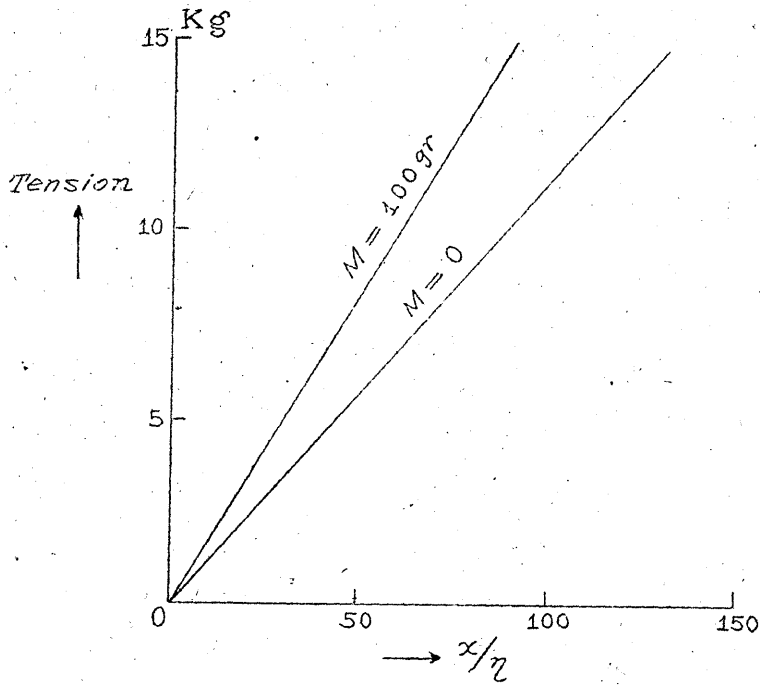
第21図の実線は(10)式の dx の係数を計算したもので、鋼線のヤング率 E をパラメーターとしてある。全図の破線は $M = 100 \text{ gr}$ の場合につき、(18)の dx' の係数を計算したものである。鋼線の常数としては E の値は上誌の超不変鋼線の値を採つてある。

張力による鋼線の伸びを考慮に入れないで單に幾何学的の考えからいうと、図の $E = \infty$ の線を見れば判るように、線の弛みを小さくするほど、即ち x/η (又は x'/η') を大きくするほど、 dx (又は dx') の係数の値は増して、伸縮計としての感度を増すわけであるが、実際にはヤング率 E が有限であるから、線の弛みを或る程度小さくすると、却つて感度が減小する。假に土地が伸びた場合を考えて見ると、これによつて線の弛み η は減るが、同時に線の弛力が増して線が伸びる。ところが線の伸びは η を増すことになるので、両者が打消し合つて結局余り η が変らないのである。また、錘 M を取附けることは感度の点で少しも有利でないことが分る。しかも、第22図に示す如く、 M を取付けた方が同じ鋼線の弛みに対して遙かに張力が大きくなるので、この点から M を取附けることは好ましくない。現在の鋼線では、錘なしで x/η の値が60



實線 (計算値) } M=0
 ⊙ (實驗値) }
 破線 (計算値) } M=100 gr.
 × (實驗値) }

第 24 圖



第 22 図

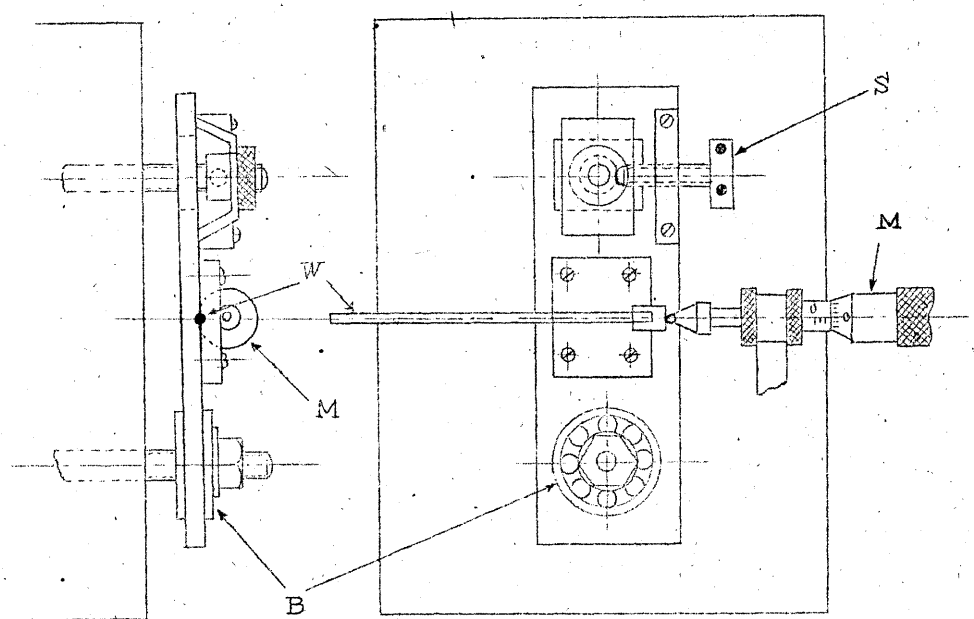
附近であることが最も良好な状態といえる。今回は錘なし、 $x/2 = 66$ の状態で観測を行うこととした。この場合の鋼線に働く全張力は 7.5 Kg weight である。

第 21 図に◎及び×で記入したものは感度試験の結果である。 $M=0$ と $M=100\text{ gr.}$ の場合につき、 $x/2$ (或は $x/2'$) のいろいろの値につき行った。鋼線の一端を固定し、一端を微動装置により微小に移動させ、これに相当する η の変化を 2.5 cm の挺子を用い、50 cm の長さの光挺子にて測ったものである。第 23 図は微動装置及びマイクロメータであって、二本のボルトによってコンクリート・ブロックに取付けられるようになっている。実際の観測のときは、この微動装置は取りはずし、鋼線はブロックに固定される。

鋼線の両端の距離 x が dx だけ変化したとき、それが ∇ 倍されて η の変化 $d\eta$ となって現れるとすれば、

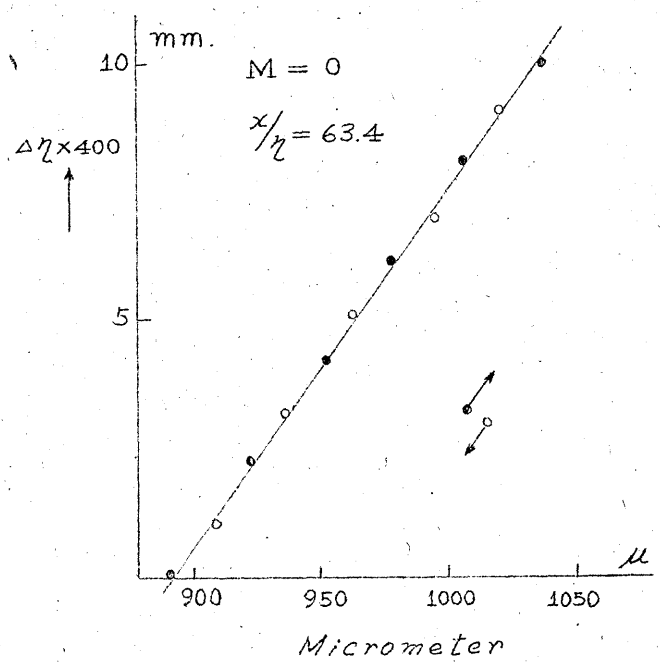
$$\nabla = \frac{d\eta}{dx} = \frac{1}{2} \frac{d\eta}{dx}$$

である。実験の結果



感度試験装置 Bボールベアリング、 S微動螺子
 Mマイクロメーター、 W鋼線

第23図



第24図 感度試験結果

は、計算通りに σ/η の増加と共に感度が減少しているが、計算値の $E = 16 \times 10^{11}$ の場合に近い。しかし資料試験で得た E の値は約 12×10^{11} で多少の相違がある。この原因は今のところ不明であるが、線に巻きぐせが残っているための影響が大きいものと思う。

この土地伸縮計の使用結果は、観測を相当期間行った後に報告する。

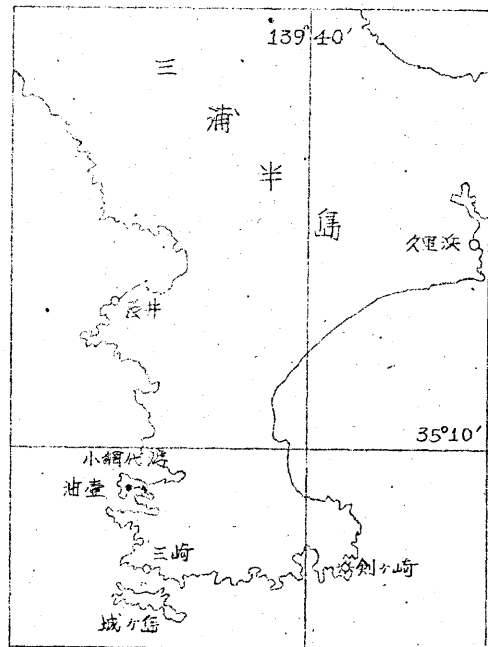
第2章 潮汐の負荷による土地の傾斜及び伸縮

1. 観測の現状

観測が行われているのは三浦半島の南端、神奈川県三崎町にある、東京大学油壺湾海実験所の構内である（第25図参照）。この附近の地質学的な調査はまだ行われていないが、砂岩を主体に頁岩を混えて成層している第3紀層である。油壺湾に面する、高さ10数mの丘の脚部に作られた横坑が観測用に用いられ、巾、高さ共に2m強であり、平面的な形状は第26図に見られる通りであつて、30m弱の主幹部は海岸と約10mを隔つた之に平行している。

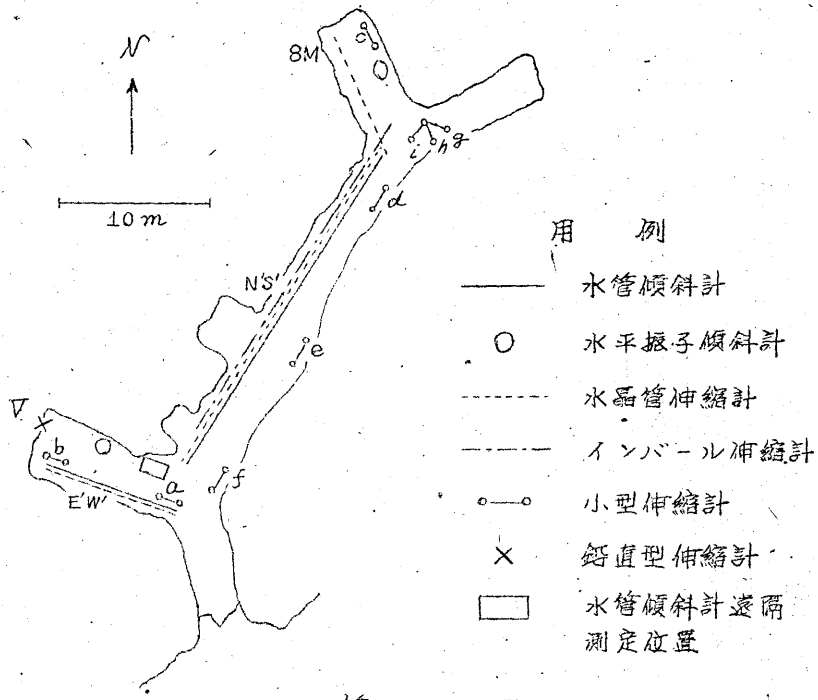
壕内の湿度変化は一日中を通じて 1°C の数分の1に過ぎず、湿度も亦特別の季節を除いては余り高くない。

以上の如き観測壕に於て地殻変動を観測している訳であるが、用いられている器械の配置は第26図の通りで、それ等の諸常



● 観測壕 × 検潮儀

第 25 図



第 26 図

数は第I表に示されている。

機構上水管傾斜計二台は定時観測(0800, 1600)であるが、水晶管伸

第 I 表

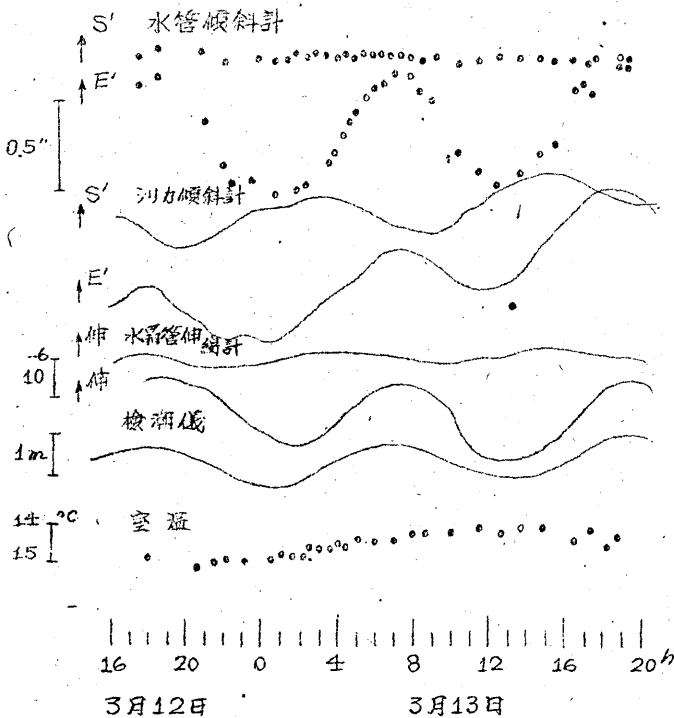
	成分	設置方向	スパン	感 度
水管傾斜計	E'W'	N81°W	10 m	マイクロメータの読み50μか1秒角
	N'S'	N22°E	25	125μ "
水平振子傾斜計	E'W'	N81°W	—	記録紙上 1.0 cm "
	N'S'	N22°E	—	" " "
水晶管伸縮計	E'W'	N81°W	10	記録紙上 1.0 cm か 3.3×10^{-6}
	N'S'	N22°E	25	" " 1.3×10^{-6}
	8 M	N25°W	8	" " 3.8×10^{-6}
	▽	鉛 直	2.0	" " 2.5×10^{-6}
	小型	各 種	1.0	" " 5.5×10^{-6}

縮計 (N'S', E'W', 3M, V) 及び水平振子傾斜計 (ニ台) は7日捲きの時計装置で連続観測を行っている。壕内各処の1m伸縮計は常時は用いず、必要に応じて1台の番机を共用する。常三ヶ所の温度計が設けてあつて、水管傾斜計の観測毎に空温を測定している。

2. 短週期変動と潮汐との関係

写真5は観測記録の実例であるが、一見して判るような半日週期らしいものが著しく現われている。これは伸縮計ばかりでなく、水管傾斜計に於ても連続的に観測すれば明らかに認められることである (第27回参照)。この種類の変動を短週期変動と呼ぶことにするが、本章で述べるのは主にこの変化に關した事柄である。

傾斜計記録と潮汐との関係については既に高橋博士が詳しく研究され



第 27 回

ているが、⁽¹⁾伸縮計記録に見られる短週期変化が潮汐と関係あることも亦容易に想像される如である。第27回はある1日につき各種の記録を対忘させたいものであつて、これらの事情が明瞭に認められる。

以上のような考えに基づき各記録を調和分析にかけた結果は第II表の通りである。分析に用いた材料は昭和23年3月中旬より1ヶ月(一部半

第 II 表

	成分	振 幅 H	遅 角 K
水晶管伸縮計	E' W'	5.0×10^{-7}	143°
	N' S'	-6.3×10^{-8}	188°
水平振子伸縮計	E' W'	0.10" (5.0×10^{-7})	152°
	N' S'	0.065" (3.2×10^{-7})	178°
潮 汐 [*]		35.2 cm	152.6°

*) 中野稔人：「潮汐学」附録

ヶ月)商のもので、期間としては短か過ぎる嫌いがあるが、他の分潮に比較的影響されないM₂分潮に着目する事にした。その結果当面の目的には以上の材料で商に合うものと思われる。

遅角について見るとE'W'成分は大體潮汐の値に近く両者の関係の密接な事が想像される。N'S'成分のそれはやゝ大きく出ているが、又は恐らく振幅が小さいのと期間が短い為に由来するものと考えられるから、この喰違いと深い意味をもたせぬ方が適當であろう。

3. 土地伸縮の均一性

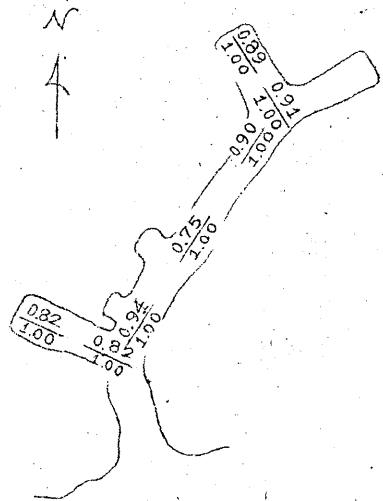
真の変動状態に及ぼす観測場の影響は、今後研究を進めるに當つて是非解決して置かねばならぬ問題であるが、その一端を調べた結果は次の通りである。

(1) 高橋龍太郎、濃研彙報、第6巻(昭和4年)85頁

土地の伸縮は大型の水素管伸縮計で常時観測されているが、その示す値は伸縮計のスパン10m前後に亘る伸縮の平均的な状態と考えられる。一方観測壕の大きともこの程度であるから、仮に壁の存在が影響を與えるとしても認めようがない筈である。その為、之に平行して小型伸縮計を設置し之等の観測結果を比較する事を試みた次第である。

観測層は小型三成分伸縮計の一成分をとり出したような構造のものを用い、一ヶ所1.2週間の割合で移動して観測を行うことにした。観測地点は第26回中のa~fの6点と、別に小型三成分伸縮計による丸の合計7点であつて、期間は昭和23年10月から翌年2月の間である。

得られた記録の短週期変動(伸縮率)の振巾の、大型伸縮計によるものに対する比は第28回の通りであつて、夫々の観測地点に、横線を観測方向に向けて記入してある。それによると比は0.8~0.9程度であつて、現在の精度では一定と思ふのが適當であろう。そして数値が明らかに1.0より低く出ているのは、大型伸縮計の実倍率が幾何倍率より小さいといつたような、組織的な原因によるものと思われる。いずれにせよ以上の試みからは、観測壕内での著しい不均一性は認められず、又この程度のひろがりの中では土地の伸縮を均一と考へてよきそうな事が判る。



第 28 回

4. 短週期変動から導かれる歪の状態

観測結果から、短週期変動に由来する歪の状態は種々に表現出来るが、その中歪の最大に現われる方向が興味あるように思受けられるので、主にこの点について述べることにする。こゝでは單に運動学的な取扱いに

止めて、彈性論的な考察は次章に廻すことにする。

(i) 傾斜について。現在傾斜は E'W'、N'S' の両方向について（水管傾斜計、水平振子傾斜計）観測されているから、この附近の土地が剛体的に運動すると仮定すれば、傾斜の最大方向が求められる。前述の通り昭和23年3月12日には水管傾斜計の連続的な観測が行われたが、その結果によると海水面の上昇1mに対する傾斜は

$$S' \text{方向へ} \quad 0.04''$$

$$E' \text{方向へ} \quad 0.51''$$

となり、結局観測点の土地は

$$S 64^\circ E \text{ へ} \quad 0.53''$$

傾斜することになる。

一方連続観測が行われている水平振子型傾斜計によればこの附近は海水面の上昇1mに対して、

$$S 51^\circ E \text{ へ} \quad 0.54''$$

傾斜する事になり、又嘗て同型の傾斜計を用いて高橋博士が観測された²⁾ところでは

$$S 58.5^\circ E \text{ へ} \quad 0.67''$$

の値が得られている。³⁾

以上三組の数値間には夫々若干の相違があるが、それは主として器械の構造の相異又は観測地点の性質等の影響によるものと思われ、大勢としてこの附近の傾斜状態を知るに足りると思われる。

この様な結果が、荷重による半無限弾性体表面の傾斜として説明されることは既に高橋教授の試みられたところであつて、更めて此処では述べない。之と同様な立場より、傾斜、伸縮の両変動を包括して理論的に

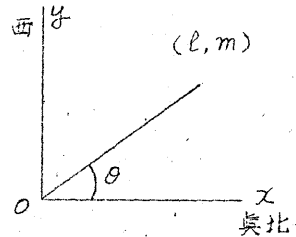
(2) 高橋龍太郎：震研彙報 第6巻（昭和4年）85頁

(3) 観測点は現在の位置より約20m離れている。

取扱う試みについては後の章に記される筈である。

(ii) 伸縮について。伸縮計の設置とれているのは第 表の如く三方向であるから、無限小一次変形として土地の歪を二次元的に表現することが出来る。

今座標軸として第29図のようにとり、歪の成分を e_{xx} , e_{yy} , e_{xy} とすれば、 θ なる方向 (その方向余弦を l , m とする) の伸長さ e_i は



第29図

$$e_i = e_{xx} l^2 + e_{yy} m^2 + e_{xy} l m \dots (1)$$

で與えられる。

今の場合伸縮計 N'S', E'W', 8M (夫々を 1, 2, 3 で区別する) の方向は N22°E, N81°W, N25°W であるから

$$\left. \begin{aligned} e_1 &= 0.859 e_{xx} + 0.141 e_{yy} - 0.348 e_{xy} \\ e_2 &= 0.024 e_{xx} + 0.976 e_{yy} + 0.154 e_{xy} \\ e_3 &= 0.821 e_{xx} + 0.179 e_{yy} + 0.383 e_{xy} \end{aligned} \right\} \dots (2)$$

となり、この連立方程式を解くことにより

$$\left. \begin{aligned} e_{xx} &= 0.5858 e_1 - 0.1967 e_2 + 0.6111 e_3 \\ e_{yy} &= 0.1981 e_1 + 1.0397 e_2 - 0.2399 e_3 \\ e_{xy} &= -1.348 e_1 - 0.0642 e_2 + 1.412 e_3 \end{aligned} \right\} \dots (3)$$

が得られる。

ところで観測によれば、海水面の上昇 1 m に対する伸長量は

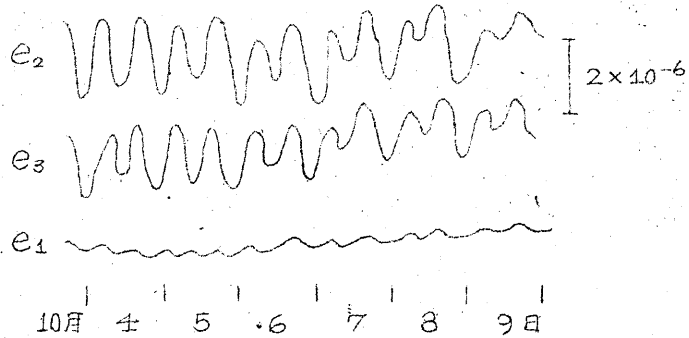
$$\left. \begin{aligned} e_1 &= 0.07 \times 10^{-6} \\ e_2 &= 1.44 \times 10^{-6} \\ e_3 &= 0.94 \times 10^{-6} \end{aligned} \right\} \dots (4)$$

に違する。これらの関係を昭和23年10月初旬の例にとって見ると第30図のようになる。

上の値を (3) に代入すれば、歪の成分として

$$\left. \begin{aligned} e_{xx} &= 0.33 \times 10^{-6} \\ e_{yy} &= 1.35 \times 10^{-6} \\ e_{xy} &= 1.09 \times 10^{-6} \end{aligned} \right\} \text{----- (5)}$$

が得られる。これらの値を適当に組合せれば種々の歪が求められる筈であるが、こゝではその一例として歪の楕円及び主伸長の方向と大きさを求めることにする。

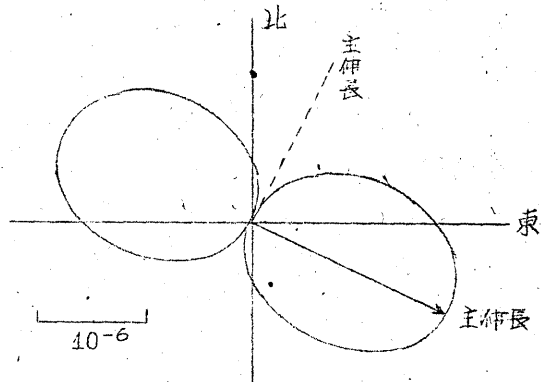


第 30 図

歪の楕円を求めるには(4)に種々の (l, m) を代入すればよく、その結果は第31図の通りである。又主伸長の大きさを e 、方位角を θ とすれば歪の成分との向は

$$\begin{vmatrix} e_{xx}-e & \frac{1}{2}e_{xy} \\ \frac{1}{2}e_{xy} & e_{yy}-e \end{vmatrix} = 0$$

----- (6)



第 31 図

及び

$$\tan \theta = - \frac{e_{xx}-e}{\frac{1}{2}e_{xy}} \text{----- (7)}$$

なる関係があるから、(5)を用いて

$$e = 1.61 \times 10^{-6} \quad (\text{最大})$$

$$0.07 \times 10^{-6} \quad (\text{最小})$$

$$\theta = 66^\circ \quad (\text{最大主伸長軸の方位角})$$

なる結果が得られる。

、ここに興味あるのは主伸長軸の方向が、傾斜最大の方角と略々一致していることである。短週期変動を理論的に説明しようとする試みは次章に於て行われるが、上の事実の説明もその場合になされるべきものである。

(iii) 鉛直方向の伸縮について。二次元的な歪の状態は大体上述の通りであるが、最後に鉛直型伸縮計の観測結果について一言する。これはいわば e_{zz} を測定するものであるから、三次元的な状態を完全に指定するにはまた e_{xz} , e_{yz} に相当する量が不足である。従つてこゝに述べることは三次元への橋渡しに適さない。

この伸縮計の設置場所は第26図中に見られるが、前と同じようにして海水面上昇1mに対する伸長量を求めると

$$e_{zz} = -1.53 \times 10^{-6}$$

となる。

今体積伸長をDとすれば

$$D = e_{xx} + e_{yy} + e_{zz}$$

であるから、既に判明している値を用いて

$$D = 0.15 \times 10^{-6} \quad (\text{海水面上昇1m当り})$$

になる。従つて現在の観測精度ではDは殆んど0と考えた方が無難であつて、この事實は今後潮汐荷重による土地変動を弾性体論的に考察する場合、重要な役割を果すものと考えられる。

第3章 潮汐の負荷に依る傾斜及伸縮に関する理論的考察

1. 等方性半無限弾性体の表面荷重による変形としての取扱い

従来地殻潮汐の問題に関連して、海水の荷重による土地の変形が研究

とされているか、その方法は主として等方性半無限弾性体の表面荷重による変形を所謂 *Boussinesq* 問題として取扱つている、高橋教授⁽¹⁾もこの方法によつて湖壺に於ける傾斜観測の結果を整理された、本報文に於いても一応この方法によつて、土地の伸縮を整理考察し、高橋教授および筆者等の傾斜観測結果との調和性を吟味してみよう。なおすでに高橋教授が指摘されたように、現在問題にしてゐる変形を起し得ると思われれるあらゆる原因を検討した結果、潮汐の負荷による変形のみが可能性を符すると考えられるのである。

海面の上昇に伴つて、海底におよぼす力のうちで主なものゝは垂直力であるが、海底に傾斜があれば当然若干の水平力を生じるわけであつて、海面が Δh だけ高まつた時の垂直力の増加を P_1 、水平力の x -成分および y -成分の増加をそれぞれ P_2 、 P_3 とすれば、海底の形を

$$z = h(x, y)$$

とするととき次のようになる。

$$\left. \begin{aligned} P_1 &= \frac{\rho g \Delta h}{\sqrt{1 + \left(\frac{\partial h}{\partial x}\right)^2 + \left(\frac{\partial h}{\partial y}\right)^2}} \\ P_2 &= \frac{-\rho g \Delta h \frac{\partial h}{\partial x}}{\sqrt{1 + \left(\frac{\partial h}{\partial x}\right)^2 + \left(\frac{\partial h}{\partial y}\right)^2}} \\ P_3 &= \frac{-\rho g \Delta h \frac{\partial h}{\partial y}}{\sqrt{1 + \left(\frac{\partial h}{\partial x}\right)^2 + \left(\frac{\partial h}{\partial y}\right)^2}} \end{aligned} \right\} \dots\dots (1)$$

但し ρ は海水の密度、 g は重力の加速度である、海底の傾斜量が小として $\left(\frac{\partial h}{\partial x}\right)^2$ 、 $\left(\frac{\partial h}{\partial y}\right)^2$ が省略可能であるとすると、(1)は

$$P_1 = \rho g \Delta h, \quad P_2 = -\rho g \Delta h \frac{\partial h}{\partial x}, \quad P_3 = -\rho g \Delta h \frac{\partial h}{\partial y} \dots\dots (2)$$

(1) 高橋龍太郎、地震研究所彙報 6 (1929) 86

と書ける。

従来の海水の垂直荷重のみを考慮していた方法の妥当性は、傾斜のみが観測されていたことによるのであつて、伸縮をも考える時は、海底の水平力の分布による変形も後に示すように、決して無視出来ない程度となる。

等方半無限弾性体の表面の原点に、 P_1, P_2 , および P_3 が働いた時の変位に夫々 1, 2 および 3 というサフィックスをつけると変位は弾性論により次のように與えられる。

$$\left. \begin{aligned} u_1 &= \frac{P_1}{4\pi\mu} \frac{zx}{R^3} - \frac{P_1}{4\pi(\lambda+\mu)} \frac{x}{R(R+Z)} \\ v_1 &= \frac{P_1}{4\pi\mu} \frac{yz}{R^3} - \frac{P_1}{4\pi(\lambda+\mu)} \frac{y}{R(R+Z)} \\ w_1 &= \frac{P_1}{4\pi\mu} \frac{z^2}{R^3} + \frac{P_1}{4\pi\mu} \frac{\lambda+Z\mu}{\lambda+\mu} \frac{1}{R} \end{aligned} \right\} (3)$$

$$\left. \begin{aligned} u_2 &= \frac{P_2}{4\pi\mu} \left(\frac{1}{R} + \frac{x^2}{R^3} \right) + \frac{P_2}{4\pi(\lambda+\mu)} \left\{ \frac{1}{R+Z} - \frac{x^2}{R(R+Z)^2} \right\} \\ v_2 &= \frac{P_2}{4\pi\mu} \frac{xy}{R^3} - \frac{P_2}{4\pi(\lambda+\mu)} \frac{xy}{R(R+Z)^2} \\ w_2 &= \frac{P_2}{4\pi\mu} \frac{zx}{R^3} + \frac{P_2}{4\pi(\lambda+\mu)} \frac{x}{R(R+Z)} \end{aligned} \right\} (4)$$

$$\left. \begin{aligned} u_3 &= \frac{P_3}{4\pi\mu} \frac{xy}{R^3} - \frac{P_3}{4\pi(\lambda+\mu)} \frac{xy}{R(R+Z)^2} \\ v_3 &= \frac{P_3}{4\pi\mu} \left(\frac{1}{R} + \frac{y^2}{R^3} \right) + \frac{P_3}{4\pi(\lambda+\mu)} \left\{ \frac{1}{R+Z} - \frac{y^2}{R(R+Z)^2} \right\} \\ w_3 &= \frac{P_3}{4\pi\mu} \frac{yz}{R^3} + \frac{P_3}{4\pi(\lambda+\mu)} \frac{y}{R(R+Z)} \end{aligned} \right\} (5)$$

$$R^2 = x^2 + y^2 + z^2$$

但し u, v および w はそれぞれ x, y , および z 方向の変位であり、 z は弾性体の内部に向う方向を正とする。

上式より表面即ち $z=0$ における x -方向の伸びおよび傾斜、 z -方向の伸びを計算すると次のようになる。

$$\left. \begin{aligned} \left(\frac{\partial u_1}{\partial x}\right)_0 &= \frac{P_1}{4\pi(\lambda+\mu)} \frac{x^2-y^2}{r^4} \\ \left(\frac{\partial w_1}{\partial x}\right)_0 &= -\frac{P_1}{4\pi\mu} \frac{\lambda+2\mu}{\lambda+\mu} \frac{x}{r^3} \\ \left(\frac{\partial w_1}{\partial z}\right)_0 &= 0 \end{aligned} \right\} \dots\dots\dots (6)$$

$$\left. \begin{aligned} \left(\frac{\partial u_2}{\partial x}\right)_0 &= \frac{P_2}{4\pi\mu} \frac{x(r^2-3x^2)}{r^5} - \frac{P_2}{4\pi(\lambda+\mu)} \frac{3xy^2}{r^5} \\ \left(\frac{\partial w_2}{\partial x}\right)_0 &= -\frac{P_2}{4\pi(\lambda+\mu)} \frac{x^2-y^2}{r^4} \\ \left(\frac{\partial w_2}{\partial z}\right)_0 &= \frac{P_2}{4\pi\mu} \frac{\lambda}{\lambda+\mu} \frac{x}{r^3} \end{aligned} \right\} \dots\dots\dots (7)$$

$$\left. \begin{aligned} \left(\frac{\partial u_3}{\partial x}\right)_0 &= \frac{P_3}{4\pi\mu} \frac{\lambda}{\lambda+\mu} \frac{y(r^2-3x^2)}{r^5} \\ \left(\frac{\partial w_3}{\partial x}\right)_0 &= -\frac{P_3}{4\pi(\lambda+\mu)} \frac{2xy}{r^4} \\ \left(\frac{\partial w_3}{\partial z}\right)_0 &= \frac{P_3}{4\pi\mu} \frac{\lambda}{\lambda+\mu} \frac{y}{r^3} \end{aligned} \right\} \dots\dots\dots (8)$$

$$r^2 = x^2 + y^2$$

かくして表面の一点に力が作用する場合の歪がわかつたから、これらを実際の地形について積分して観測点に於ける歪を求めればよい。

実際に積分を行うにはよく用いられるような重力偏差の地形補正を求めるために用いる方法と類似の方法を使用出来る。この場合観測点を原点にとつた、極座標に於いて $r = r_n \sim r_{n+1}$, $\phi = \phi_m \sim \phi_{m+1}$ にかこまれる部分の寄與を考えると、例えば

$$\begin{aligned} \iint \frac{x^2-y^2}{r^4} dx dy &= \int_{r_n}^{r_{n+1}} \frac{dr}{r} \int_{\phi_m}^{\phi_{m+1}} (\cos^2\phi - \sin^2\phi) d\phi \\ &= \left(\log \frac{r_{n+1}}{r_n}\right) \frac{1}{2} (\sin 2\phi_{m+1} - \sin 2\phi_m) \end{aligned}$$

となる。 $\log \frac{r_{n+1}}{r_n}$ および $\frac{1}{2}(\sin 2\phi_{m+1} - \sin 2\phi_m)$ の値が必ず

れの区劃に於ても一定になるようにすれば、

$$\left(\frac{\partial u_1}{\partial x}\right)_0 = \frac{K}{4\pi(\lambda+\mu)} \sum_{S_2} P_1,$$

$$K = \left(\log \frac{r_{n+1}}{r_n}\right) \frac{1}{2} (\sin 2\phi_{m+1} - \sin 2\phi_m)$$

となり、 \sum_{S_2} は上に指定した区劃毎の P_1 の値をたし合わせることを意味する。このようにして区劃の作り方がそれぞれの場合で次表の如く指定される。

第 III 表

	r	ϕ
S_1	$\log \frac{r_{n+1}}{r_n}$	$\sin \phi_{m+1} - \sin \phi_m$
C_1		$-(\cos \phi_{m+1} - \cos \phi_m)$
S_2		$\frac{1}{2} (\sin 2\phi_{m+1} - \sin 2\phi_m)$
C_2		$-\frac{1}{2} (\cos 2\phi_{m+1} - \cos 2\phi_m)$
S_3		$\frac{1}{3} (\sin 3\phi_{m+1} - \sin 3\phi_m)$
C_3		$-\frac{1}{3} (\cos 3\phi_{m+1} - \cos 3\phi_m)$

このような区劃を透明な紙にえがき、それを P_1, P_2, P_3 等の分布をあらわした図の上にかさねて、それぞれの区劃内の値を符号を考慮してたし合わせて積分を行うことが出来る。その場合観測点に於ける各種の歪は

$$\left(\frac{\partial u_1}{\partial x}\right)_0 = \frac{K_2}{4\pi(\lambda+\mu)} \sum_{S_2} P_1,$$

$$\left(\frac{\partial w_1}{\partial x}\right)_0 = \frac{K_1}{4\pi\mu} \frac{\lambda+2\mu}{\lambda+\mu} \sum_{S_1} P_1, \quad \left(\frac{\partial w_1}{\partial z}\right)_0 = 0.$$

- (2) P_2, P_3 は海図より 1 料毎の水深をよみとりて隣同志の差をつくり、 $\frac{\partial h}{\partial x}$ および $\frac{\partial h}{\partial y}$ を求めることによつて分布図をつくり、海図に附して御配慮をたまわつた須田暁次水路局長に感謝の意を表す。

$$\left(\frac{\partial u_2}{\partial x}\right)_0 = \frac{K_1}{16\pi\mu} \frac{5\lambda+8\mu}{\lambda+\mu} \sum_{S_1} P_2 + \frac{K_3}{16\pi\mu} \frac{3\lambda}{\lambda+\mu} \sum_{S_3} P_2,$$

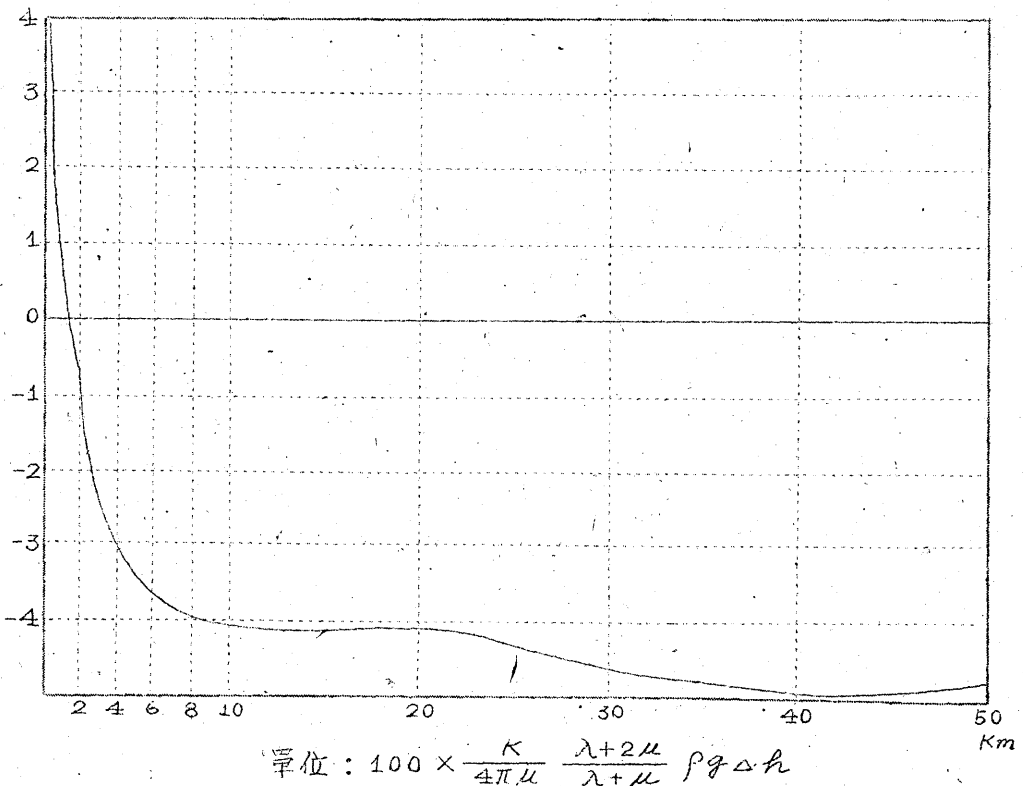
$$\left(\frac{\partial w_2}{\partial x}\right)_0 = -\frac{K_2}{4\pi(\lambda+\mu)} \sum_{S_2} P_2, \quad \left(\frac{\partial w_2}{\partial z}\right)_0 = -\frac{K_1}{4\pi\mu} \frac{\lambda}{\lambda+\mu} \sum_{S_1} P_2$$

$$\left(\frac{\partial u_3}{\partial x}\right)_0 = -\frac{K_1}{16\pi\mu} \frac{\lambda}{\lambda+\mu} \sum_{C_1} P_3 + \frac{K_3}{16\pi\mu} \frac{3\lambda}{\lambda+\mu} \sum_{C_3} P_3,$$

$$\left(\frac{\partial w_3}{\partial x}\right)_0 = -\frac{K_2}{4\pi(\lambda+\mu)} \sum_{C_2} P_3, \quad \left(\frac{\partial w_3}{\partial z}\right)_0 = -\frac{K_1}{4\pi\mu} \frac{\lambda}{\lambda+\mu} \sum_{C_1} P_3,$$

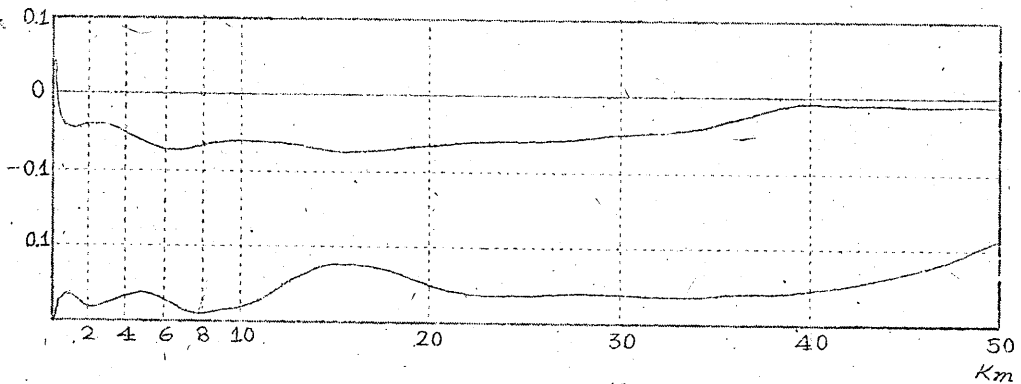
等であらわされる。但し K_1, K_2, K_3 等は区劃の切り方の粗密によつて
きまる常数であるがこれ等を一定値 K にとるのが便利である。

上記の方法を油壺の観測点に應用して1つの伸縮計の方向である $E9^\circ S$
S方向の傾斜を求めると第32圖のようになる、即ち海面が一様に高ま



第32圖 $E9^\circ S$ 方向の垂直力による傾斜

つたとして、その荷重によるその方向の傾斜に比例した量を示す。図中横軸は料であらわしてあり、その意味はその距離までの海水の荷重が観測点の傾斜におよぼす影響ということである。水平力による傾斜量は垂直力のそれにくらべて1~2%程度であるのでこの図においてははつきりしないが、縦軸を拡大してえがくと第33図のようになる。第32図からわかるように、観測結果を説明するためには100~200米程度以内の海水しか影響をもちないとしなければならぬことは高橋教授が既に示されたところであつて、そのためには地殻の有効剛性率が距離とと



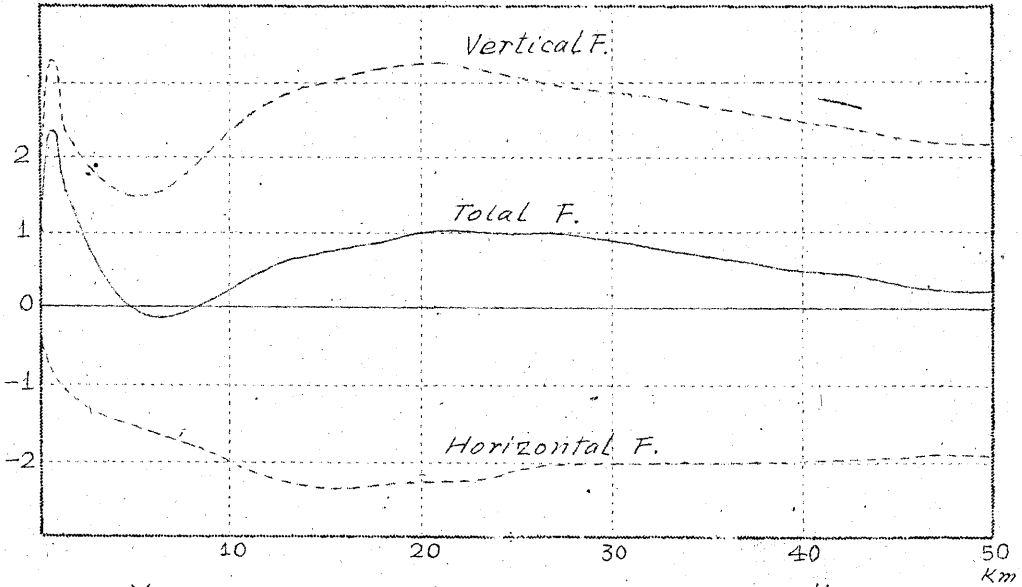
$$\text{単位: } 100 \times \frac{K}{4\pi(\lambda + \mu)} \rho g \Delta h$$

第33図 上: $E9^\circ S$ 方向の水平力による $E9^\circ S$ 方向の傾斜
下: $N9^\circ E$ 方向の水平力による $E9^\circ S$ 方向の傾斜

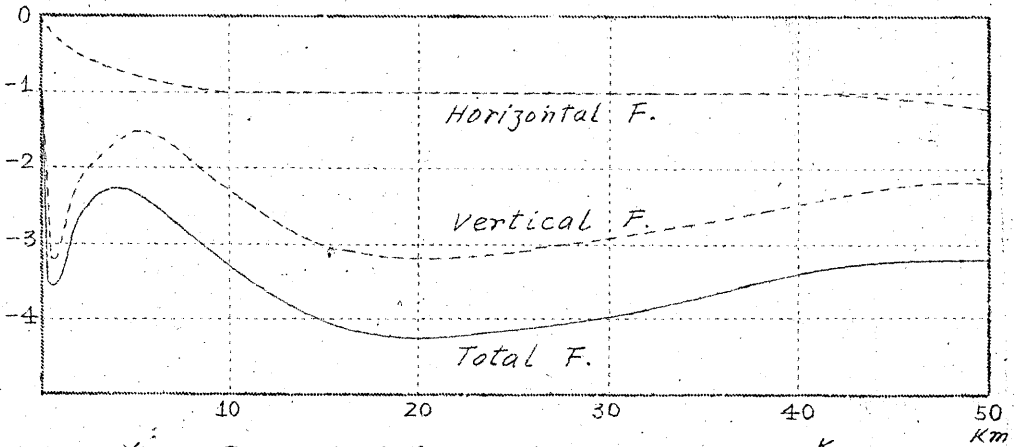
もに変化するという考えが提出されている。この方向に直角な方向の傾斜を計算することも同様に可能であり、その結果は既に高橋教授によってなされたところと全く一致する。

次に伸縮については如何になるであろうか? この場合 $\lambda = \mu$ として $E9^\circ S$ 方向の伸びを求めてみると第34図のようになり、図中垂直力および水平力の影響を別々に求め、さらにその合成した結果を示してある。第35図は $N9^\circ E$ 方向の伸び、第36図は鉛直方向の伸び⁽³⁾ を示してあ

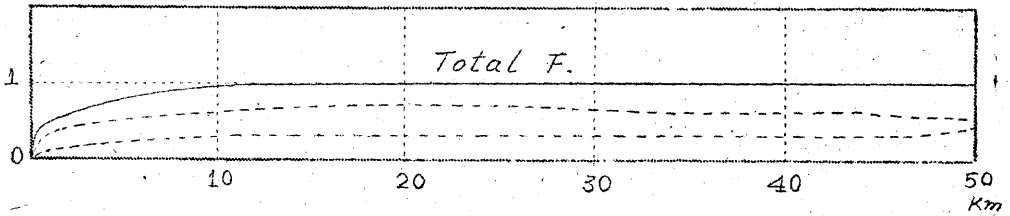
(3) $\frac{\partial \sigma}{\partial z}$ に於いては垂直力の寄與は全然ない。



第34圖 E 9° S 方向の伸縮 單位: $100 \times \frac{K}{8\pi\mu} \rho g \Delta h$



第35圖 N 9° E 方向の伸縮 單位: $100 \times \frac{K}{8\pi\mu} \rho g \Delta h$



第36圖 鉛直方向の伸縮 單位: $100 \times \frac{K}{8\pi\mu} \rho g \Delta h$

る。これらの図を見て明らかなように、伸縮に於ては水平力の寄與は相当大きく、時としては垂直力にほぼ匹敵する程度にさえなり得る。このことは注目すべき事実であつて、入と出との大きさが多少變じても結論に大差は生じないであろう。

さて観測結果との比較であるが、前章に於て既に述べたように、 $E9^{\circ}$ の方向は潮位の増加に伴つて伸び、 $N9^{\circ}E$ 方向はわずかに伸び、垂直方向は縮むという結果がえられている。したがつて上の數圖にあらわれている理論値は垂直方向の伸縮において、観測と伸縮の符号が逆でありまた $N9^{\circ}E$ 方向に於いては符号逆またその大きさも全くかけはなれている。これらの事情は如何なる範囲内の海水のみが影響するとしてを説明不可能であつて、傾斜の観測結果を説明するために導入された剛性率の距離による変化という便宜的考へ方は、伸縮をも考慮することによつて根柢より打破されてしまうのである。

このように等方半無限弾性体表面上の観測と考へる限りにおいては、海水荷重による水平力を考慮しても各種歪の大きさおよびその相互關係を説明することは本質的に不可能である。傾斜観測のみの場合においてさえも、川奈⁽⁴⁾ 別府⁽⁵⁾ のそれのようにしばしば異常な事柄が発生することが報じられており、地殻構成の複雑性を考慮するとき、*Boussinesq* の解が適用出来るような場合のほうがむしろ稀であろうことも予想されるのである。それならば、現在の観測結果を理解し、説明するためどのような地殻のモデルを採用すべきであるかについては、全く不明であつて、さらに各種歪の場所的变化などを測定した後で議論すべき段階にある。

2. 観測点附近の地形の影響

(4) 高橋龍太郎、地震研究所彙報 10 (1932) 145.

(5) 西村英一、地球物理 5 (1941) 10.

前節において、半無限弾性体表面に於ける観測として理論的に期待される歪を求めて、観測結果との比較を試みれば、油壺附近の地形を考える時、観測点が半無限弾性体の表面にあるという近似がどの程度成立つかは必ずしも自明のことではない。この点を吟味するために本節に於いて、観測点附近の地形の影響を近似的に調べてみよう。

問題を簡単にするために、第37図に示したように矩形の断面をもつ長い凸起が半無限体の表面にあるとし、この凸起の部分を除いて表面に歪直力が一様に作用する場合

の釣合を考えてみる。実際の地形に於いてはこの凸起の幅



第 37 図

を 100 米、高さを 10 米程度にとればほぼ観測点附近の状況を示しているものといえよう。

はじめに凸起のない場合を考え、半無限弾性体の表面 ($z=0$) に於いて $-(a+l) < x < -a$ および $a < x < a+l$ の間のみ $-Q$ なる密度で歪直力が働いた場合の変位を求め、 $l \rightarrow \infty$ ならしめると

$$\begin{aligned}
 u &= \frac{Q}{2\pi(\lambda+\mu)} \left\{ (a+x) \tan^{-1} \frac{a+x}{z} + |a-x| \tan^{-1} \frac{|a-x|}{z} \right. \\
 &\quad \left. - \frac{z}{2} \log [z^2 + (a+x)^2] [z^2 + (a-x)^2] \right\} \\
 &\quad + \frac{Q}{4\pi\mu} z \log [z^2 + (a+x)^2] [z^2 + (a-x)^2] \\
 w &= - \frac{Q}{2\pi(\lambda+\mu)} \left\{ z \tan^{-1} \frac{a+x}{z} + z \tan^{-1} \frac{|a-x|}{z} \right. \\
 &\quad \left. + \frac{a+x}{2} \log [z^2 + (a+x)^2] + \frac{|a-x|}{2} \log [z^2 + (a-x)^2] \right\} \\
 &\quad - \frac{Q}{4\pi\mu} \left\{ (a+x) \log [z^2 + (a+x)^2] + (a-x) \log [z^2 + (a-x)^2] \right\}
 \end{aligned} \tag{1}$$

となり、 $z=0$ に於ては

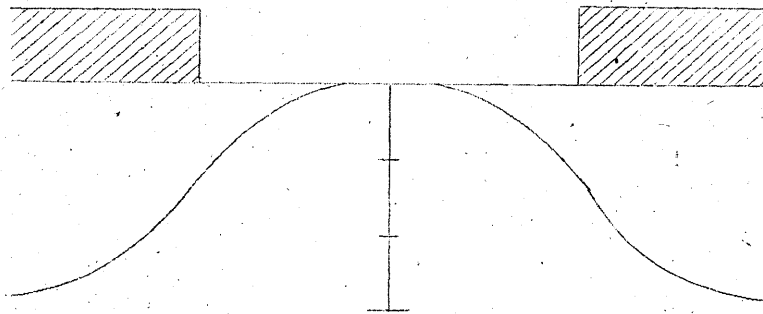
$$u_0 = 0$$

$$w_0 = -\frac{Q}{2\pi\mu} \frac{\lambda+2\mu}{\lambda+\mu} \left\{ (a+x) \log(a+x) + |a-x| \log|a-x| \right\} \quad (2)$$

さらに $x=0$ の時は

$$w_{00} = -\frac{Q}{\pi\mu} \frac{\lambda+2\mu}{\lambda+\mu} a \log a \quad (3)$$

となる、 $w_0 - w_{00}$ を図示すると第38図のようになる。



Relative Deformation

$$w_0 - w_{00}$$

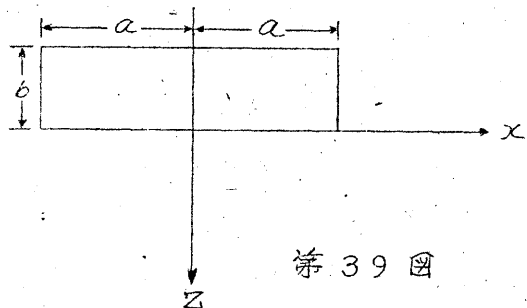
第 38 図

次に突起部を考へて、この底面に (2) のような変位が加わつた時の内部の張合いを考へる。

その結果この底面に若干の歪力があらわれるはずであるから、この歪力を海水荷重の歪力に加味して半無限体の釣合を考へ、その結果生じる変位を再び突起部の底面に加える。

このような操作を繰返すことによつて、漸近的に張合状態を知り得ると考へられる。

第39図の如き矩形断面をもつ紙面に垂直な方向に無限に長い弾性体に於いて、



第 39 図

$$Z=0 \text{ で } u=0 \quad w = \sum_s A_s \cos \alpha x \quad \alpha(s) = \frac{s\pi}{a} \quad (6)$$

とし、他の面では自由であるという条件のもとに、厳密な解を得ることは困難であるか

$$\left. \begin{aligned} u &= \left\{ C_1 \operatorname{ch} \alpha Z + D_1 \operatorname{sh} \alpha Z + \frac{\lambda + \mu}{2\mu} Z (A \operatorname{sh} \alpha Z + B \operatorname{ch} \alpha Z) \right\} \sin \alpha x \\ w &= \left\{ C_3 \operatorname{ch} \alpha Z + D_3 \operatorname{sh} \alpha Z - \frac{\lambda + \mu}{2\mu} Z (A \operatorname{ch} \alpha Z + B \operatorname{sh} \alpha Z) \right\} \cos \alpha x \end{aligned} \right\} (4)$$

なる形の解をとることによって、釣合の式を満足し、境界条件を満足するため

$$\left. \begin{aligned} C_1 &= 0, \quad C_3 = A_s \\ D_3 &= \frac{\lambda + 3\mu}{2\mu\alpha} A, \quad D_1 + A_s = \frac{\lambda + 3\mu}{2\mu\alpha} B \\ A &= -\frac{2\alpha A_s \frac{\lambda + \mu}{\mu} (\alpha b - \operatorname{ch} \alpha b \operatorname{sh} \alpha b)}{\frac{(\lambda + \mu)(\lambda + 3\mu)}{\mu^2} \operatorname{ch}^2 \alpha b + \frac{(\lambda + \mu)^2}{\mu^2} \alpha^2 b^2 + 1} \\ B &= \frac{2\alpha A_s \left(\frac{\lambda + \mu}{\mu} \operatorname{ch}^2 \alpha b + 1 \right)}{\frac{(\lambda + \mu)(\lambda + 3\mu)}{\mu^2} \operatorname{ch}^2 \alpha b + \frac{(\lambda + \mu)^2}{\mu^2} \alpha^2 b^2 + 1} \end{aligned} \right\} (5)$$

とすることによって、三面で $\widehat{xz} = 0$, $Z = -b$ で $\widehat{z\bar{z}} = 0$ ならしめることが出来る。 $x = \pm a$ で $\widehat{xx} = 0$ にはならないのであるが、 b が a に比して小さいとして b/a の自乗以上を省略出来る場合を考えると、

$$A = 0, \quad B = \frac{2\alpha\mu}{\lambda + 2\mu} A_s$$

となり、且つ $\int_0^{-b} \widehat{xx} dZ = \int_0^{-b} \widehat{zz} dZ$ となるから Saint-Venant の原理によってほぼ正しい解となる。従つて底面 $Z=0$ に於ける歪力を

$$(6) \text{ (2) 式より } A_s = -\frac{Q}{4\pi\mu} \frac{\lambda + 2\mu}{\lambda + \mu} \log a,$$

$$A_s = -\frac{Q}{\pi\mu} \frac{\lambda + 2\mu}{\lambda + \mu} 2a(-1)^s \left(\frac{1}{2!} - \frac{(2s\pi)^2}{2 \cdot 4!} + \frac{(2s\pi)^4}{3 \cdot 6!} - \dots \right) \quad s=1, 2, \dots$$

(7) $\operatorname{ch}, \operatorname{sh}$ は夫々 \cosh, \sinh の略記。

計算すると $\widehat{ZZ} = \widehat{XZ} = 0$

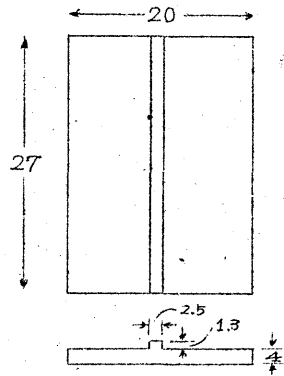
となり、この程度の省略を行うときは底面には歪力を生じないことになる。従つて凸起部内の歪を帯なる矩形断面体として求めれば、はじめの考えに凸起をもつ半無限体の場合の近似解を得ることになる。

従つて凸起部中の変位は(4)式より

$$\left. \begin{aligned} u &= \sum_s \frac{S\pi}{a} A_s \sin \frac{S\pi}{a} x \\ w &= \sum_s A_s \cos \frac{S\pi}{a} x \end{aligned} \right\} \dots\dots\dots (6)$$

となり、 w は底面の分布そのままがあらわれる。

以上の考察の外に寒天を用いて実験も行つた。第40図に示したような寸法の寒天をつくり、凸起部をのぞいた表面に板をしいてその上に錐をおくことによつて、荷重を加えた。寒天の一面を黒く塗り、適当な間隔に白点をうけて、荷重前後の位置を写真によつて比較し得るようにした。各点の垂直方向の変位を顕微鏡によつて読取つた値は第41図に示してある、凸起部の底面及びその延長上に於ける w の分布を四示した



第40図

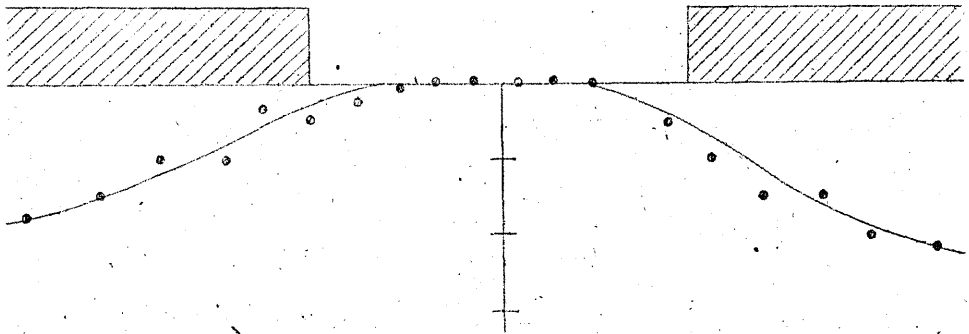
寒天模型の寸法単位: cm

7	14	13	13	13		11	10													
14	13	14	13	12	11	12	11	11	11											
	13	13	14	12	11	15	11	12	11											
14	13	13	13	14	12	12	12	12	11											
13	14	13	13	13	13	12	13	12	11											
14	13	13	13	13	13	13	13	11	9											
25	20	19	17	17	14	15	14	13	13	13	13	13	13	13	17	17	19	19	21	22
25	19	18	19	16	15	15	13	13	13	13	13	13	13	13	14	16	16	18	19	22
25	20	18	17	14	14	13	13	13	13	13	13	13	13	13	14	16	16	17	18	22

第41図 w を読み取つた値

のが第42図であつて、左右の圧力の不平等をのぞいて、前に理論的に計算した分布とよい一致を示す。

また凸起部内の w が底面の分布と等しいこともよくあらわれている。



Relative Deformation

$$w_0 - w_{00}$$

第42図 実験により求めた変位

このようにして上述の理論式による計算はほぼ実際の場合に適用可能であることがわかった。

次に(6)によって、凸起部内にとどのような歪があらわれるかを求めてみよう、即ち、

$$\frac{\partial u}{\partial x} = \sum \left(\frac{\pi}{a}\right)^2 S^2 A_s \cos \frac{S\pi}{a} x$$

$$\frac{\partial w}{\partial x} = -\frac{\pi}{a} \sum S A_s \sin \frac{S\pi}{a} x$$

$$\frac{\partial w}{\partial z} = 0$$

となるが、傾斜 $\frac{\partial w}{\partial x}$ は凸起がない場合に一致し、垂直方向の伸び $\frac{\partial w}{\partial z}$ は全くあらわれない。

これに反して水平方向の伸縮 $\frac{\partial u}{\partial x}$ があらわれるが、それは実験からわかるように極めて小さい。

以上の理論的および実験的考察を要約すると結局次のようなことが云える。幅にくらべて高さがあまり高くない突起がある半無限体の凸起部をのぞいた表面に圧力を加えた場合、凸起部内におこる歪は傾斜および垂直方向の伸びに於いて凸起のない場合の半無限体の表面の歪と全く同等となり、水平方向の伸びは凸起のない場合には表面に於て0であるのが、凸起部内に高さ按比例して伸縮を生ずる。但しその大きさは傾斜に

くらべて極めて小さい。

かくして地形の影響は存外小さいことになり、観測点附近の地形の影響を考慮しても、観測結果と地殻を等方均質な弾性体として取扱う理論より期待される結果との食違いは説明され得ないことになる。したがって、この食違いは Boussinesq 理論の適用不可能なことを意味していると解釈され、その原因は地殻構成の複雑性にもとづくものと理解されるのである。

第 4 章 構成岩石の弾性率

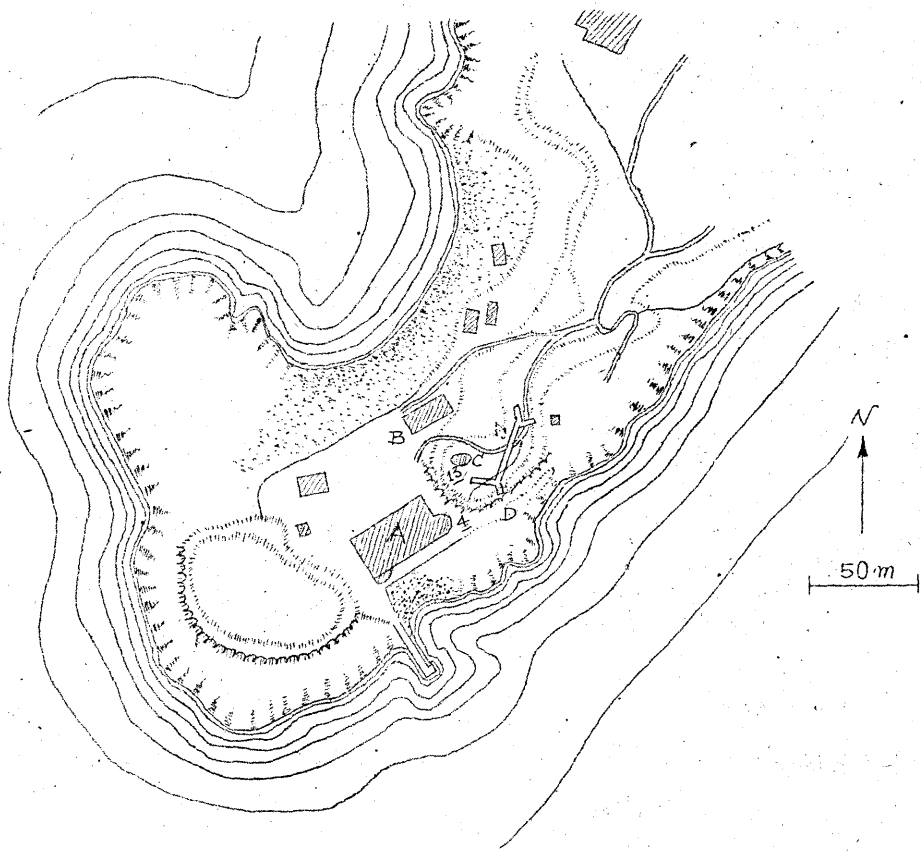
鉛直型伸縮計の記録を見ると、潮汐による変化にかきよって、ジグザクとした変化が見られる。この変化は第 43 図に示すように、伸縮計設置箇所の上方にある臨海実験所附属水族館に給水する水槽の増水および減水に伴うものである。水族館に給水が行われていなかった昭和 24 年 3 月 13 日までの記録にはこの変化があらわれていない。つまり土地の表面に荷重を加えた時および取去った時の伸縮を測定していることになる。したがって、この実験より土地の弾性率を求めることが出来る。

水槽は長径 8.1 米、短径 3.8 米の楕円形の断面をもち、水面が或る程度下ると自動的に注水するようになっていて、その水量の較差は計算によつて約 47 立方米であることが知られる。

はじめにこの問題を半無限弾性体表面に点荷重 $-P$ を作用させた場合として考えてみる。作用点を原点とした円筒座標をとつて、下向きにその正の方向をとる時、半径方向および Z の方向の変位はよく知られたように

$$\left. \begin{aligned} u &= \frac{\pi}{4\pi\mu} \left\{ \frac{Zr}{(r^2+Z^2)^{3/2}} - \frac{\mu}{\lambda+\mu} \left(\frac{1}{r} - \frac{Z}{r(r^2+Z^2)^{1/2}} \right) \right\} \\ w &= \frac{\pi}{4\pi\mu} \left\{ \frac{Z^2}{(r^2+Z^2)^{3/2}} + \frac{\lambda+2\mu}{\lambda+\mu} \frac{1}{(r^2+Z^2)^{1/2}} \right\} \end{aligned} \right\}$$

で與えられる。したがつて伸張は



A : 臨海実験所本館 B : 附属水族館 C : 水槽
 D : 観測壕入口 (数字は崖の高さを米にて示す)

第43図 観測壕附近地形図

$$\left. \begin{aligned} \frac{\partial u}{\partial r} &= \frac{\pi}{4\pi\mu} \left\{ \frac{\Sigma(\Sigma^2 - 2r^2)}{(r^2 + \Sigma^2)^{\frac{3}{2}}} - \frac{\mu}{\lambda + \mu} \left(\frac{\Sigma(\Sigma^2 + 2r^2)}{r^2(r^2 + \Sigma^2)^{\frac{3}{2}}} - \frac{1}{r^2} \right) \right\} \\ \frac{\partial w}{\partial \Sigma} &= \frac{\pi}{4\pi\mu} \left\{ -\frac{\Sigma(\Sigma^2 - 2r^2)}{(r^2 + \Sigma^2)^{\frac{3}{2}}} - \frac{\lambda + 2\mu}{\lambda + \mu} \frac{\Sigma}{(r^2 + \Sigma^2)^{\frac{3}{2}}} \right\} \end{aligned} \right\}$$

となる。

次に荷重が半径 a の円内に一様に分布していると考えた場合⁴⁾ v は、
 変位は

(4) 寺次堯一、東京帝国大学理学部紀要、37(1916) 1.

$$\begin{aligned}
 u &= \frac{\pi z}{2\pi a \mu} \int_0^{\infty} e^{-kz} J_1(kr) J_1(ka) dk \\
 &\quad - \frac{\pi}{2\pi a (\lambda + \mu)} \int_0^{\infty} e^{-kz} J_1(kr) J_1(ka) \frac{dk}{k} \\
 w &= \frac{\pi z}{2\pi a \mu} \int_0^{\infty} e^{-kz} J_0(kr) J_1(ka) dk \\
 &\quad + \frac{\pi (\lambda + 2\mu)}{2\pi a \mu (\lambda + \mu)} \int_0^{\infty} e^{-kz} J_0(kr) J_1(ka) \frac{dk}{k}
 \end{aligned}$$

となり、伸張は

$$\begin{aligned}
 \frac{\partial u}{\partial r} &= \frac{\pi z}{2\pi a \mu} \int_0^{\infty} e^{-kz} J_1'(kr) J_1(ka) k dk \\
 &\quad - \frac{\pi}{2\pi a (\lambda + \mu)} \int_0^{\infty} e^{-kz} J_1'(kr) J_1(ka) dk \\
 \frac{\partial w}{\partial z} &= \frac{-\pi}{2\pi a (\lambda + \mu)} \int_0^{\infty} e^{-kz} J_0(kr) J_1(ka) dk \\
 &\quad - \frac{\pi z}{2\pi a \mu} \int_0^{\infty} e^{-kz} J_0(kr) J_1(ka) k dk
 \end{aligned}$$

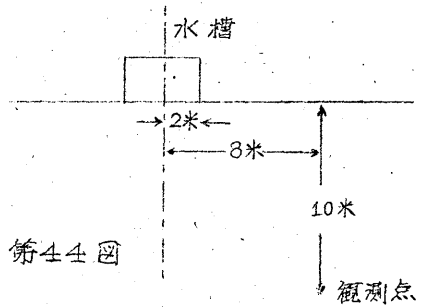
となる。この式に含まれている無限積分は橋内函数若しくは橋内積分に変換することにより、数値計算に都合のよい形にすることが出来る。

$\frac{\partial w}{\partial z}$ の測定値 2.4×10^{-7} および π 第44図に示す a, r, z 等の値を代

入し、 λ と μ の関係を適当に仮定することにより、剛性率 μ を求めることが出来る。

このようにして求めた μ の値を $\lambda = \mu, \lambda = 2\mu$ の場合について示す。

第 IV 図



第44図

	点荷重	円荷重	高橋 ⁽²⁾
$\lambda = \mu$	1.1×10^{10}	0.92×10^{10}	1.4×10^{10}
$\lambda = 2\mu$	1.0×10^{10}	0.81×10^{10}	

(2) 高橋龍太郎 前出

なお比較の爲に、高橋教授が論文に記載している試験片について実験より求めた値を併記しておく。

このようにして、表面荷重による変形より求めた弾性率の値は実際に試験片より求めた値とほぼ一致している。またこゝに求めた弾性率を用いて $\frac{\partial u}{\partial x}$ を計算してみると 10^{-8} 以下となり、実際観測壕に於ける水平伸縮計に水槽の影響と思われる変化が記録されないことも理解される。

上記の議論は、土地を半無限として取扱い観測壕や地形の影響を度外視しているが、これらの影響を考慮することは数学的に極めて困難であるので、それに対する考慮はしないことにする。

第5章 長期変動 (昭和23年3月—昭和24年3月)

油壺に諸種の測定器を設置してから、約1年を経過したが、その観測結果について述べる。伸縮計及びシリカ傾斜計について1週間巻きの自記記録から毎時の値を読みとつて、24時間についてとつた日平均値を圖に書きこんだものが第45圖である。併記した温度は壕中に於いて1日に2回測定した温度の平均であり、潮位は地理調査所の報告をもととしている、また雨量は三浦半島南東端剣崎燈台の報告を用いてある。

この圖をみてまず気付くことは伸縮計の $N'S'$ 成分が温度と平行に変化していることである。

次に温度変化が伸縮計に如何なる影響を與えるかを考察してみよう。シリカ管を外径 a 、内径 b の無限に長い中空円筒として取扱えば、内外の温度が $Ce^{i\beta t}$ なる変化をする時、管中の半径 r ($b < r < a$) の点に於ける温度変化は

$$u = C \frac{\alpha + i\beta}{\gamma + i\delta} e^{i\beta t}$$

で與えられる。茲に

$$\begin{aligned} \alpha = & (\ker \sqrt{\frac{\rho}{x}} b - \ker \sqrt{\frac{\rho}{x}} a) \operatorname{ber} \sqrt{\frac{\rho}{x}} r \\ & - (\ker \sqrt{\frac{\rho}{x}} b - \ker \sqrt{\frac{\rho}{x}} a) \operatorname{bei} \sqrt{\frac{\rho}{x}} r \\ & + (\operatorname{ber} \sqrt{\frac{\rho}{x}} a - \operatorname{ber} \sqrt{\frac{\rho}{x}} b) \ker \sqrt{\frac{\rho}{x}} r \\ & - (\operatorname{bei} \sqrt{\frac{\rho}{x}} a - \operatorname{bei} \sqrt{\frac{\rho}{x}} b) \ker \sqrt{\frac{\rho}{x}} r \end{aligned}$$

$$\begin{aligned} \beta = & (\ker \sqrt{\frac{\rho}{x}} b - \ker \sqrt{\frac{\rho}{x}} a) \operatorname{bei} \sqrt{\frac{\rho}{x}} r \\ & + (\ker \sqrt{\frac{\rho}{x}} b - \ker \sqrt{\frac{\rho}{x}} a) \operatorname{ber} \sqrt{\frac{\rho}{x}} r \\ & + (\operatorname{ber} \sqrt{\frac{\rho}{x}} a - \operatorname{ber} \sqrt{\frac{\rho}{x}} b) \ker \sqrt{\frac{\rho}{x}} r \\ & + (\operatorname{bei} \sqrt{\frac{\rho}{x}} a - \operatorname{bei} \sqrt{\frac{\rho}{x}} b) \ker \sqrt{\frac{\rho}{x}} r \end{aligned}$$

$$\begin{aligned} \gamma = & \operatorname{ber} \sqrt{\frac{\rho}{x}} a \ker \sqrt{\frac{\rho}{x}} b - \operatorname{bei} \sqrt{\frac{\rho}{x}} a \ker \sqrt{\frac{\rho}{x}} b \\ & - \operatorname{ber} \sqrt{\frac{\rho}{x}} b \ker \sqrt{\frac{\rho}{x}} a + \operatorname{bei} \sqrt{\frac{\rho}{x}} b \ker \sqrt{\frac{\rho}{x}} a \end{aligned}$$

$$\begin{aligned} \delta = & \operatorname{ber} \sqrt{\frac{\rho}{x}} a \ker \sqrt{\frac{\rho}{x}} b + \operatorname{bei} \sqrt{\frac{\rho}{x}} a \ker \sqrt{\frac{\rho}{x}} b \\ & - \operatorname{ber} \sqrt{\frac{\rho}{x}} b \ker \sqrt{\frac{\rho}{x}} a - \operatorname{bei} \sqrt{\frac{\rho}{x}} b \ker \sqrt{\frac{\rho}{x}} a \end{aligned}$$

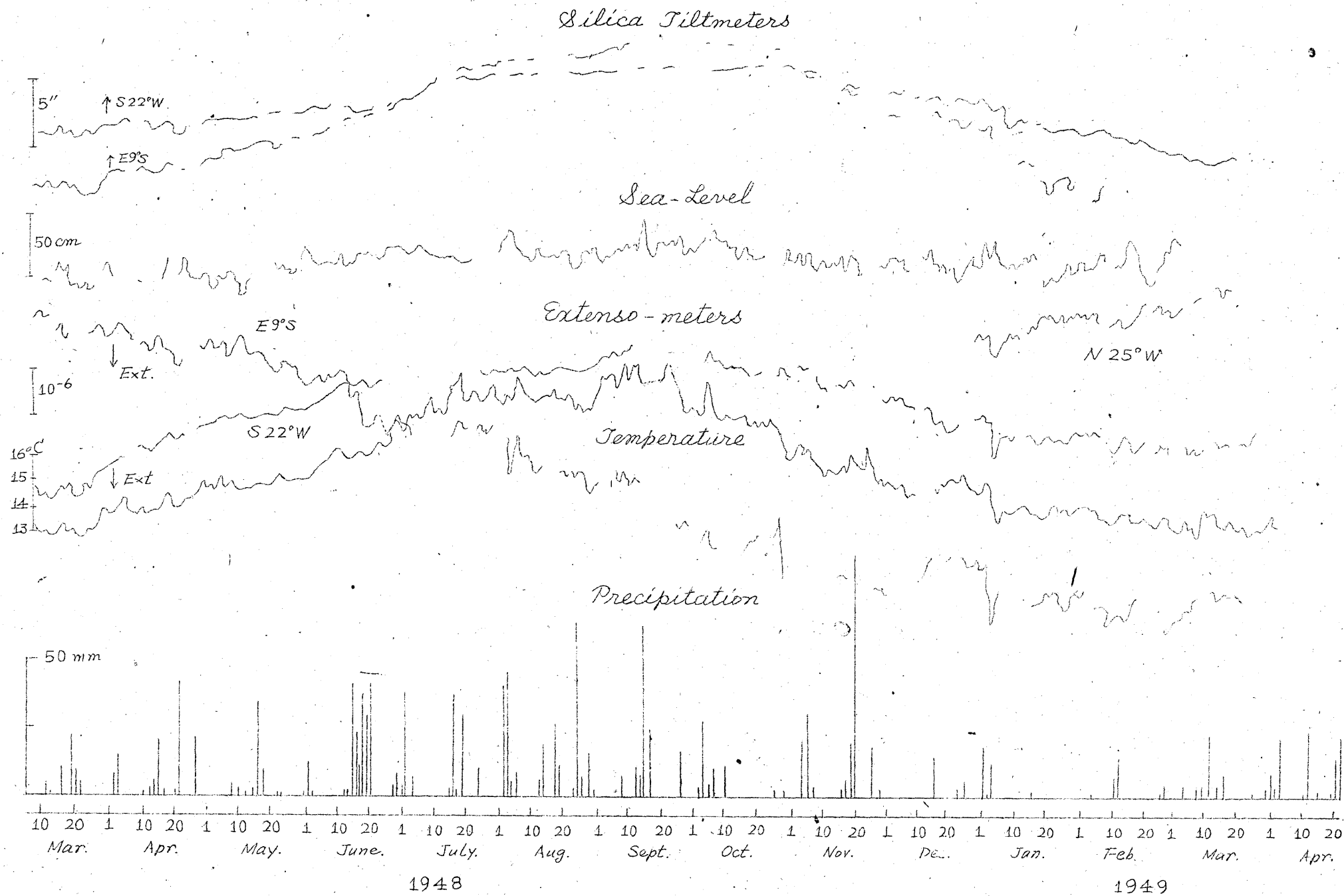
但し α は温度拡散率である。従って振幅比および位相差は

$$A/C = \sqrt{(\alpha^2 + \beta^2) / (\gamma^2 + \delta^2)}, \quad \tau = \tan^{-1}(\beta/\alpha) - \tan^{-1}(\delta/\gamma)$$

により与えられる。実際にほぼ適合する場合として

$$\omega = 0.01 \text{ cm}^2 \text{ sec}^{-1}, \quad a = 0.35 \text{ cm}, \quad b = 0.25 \text{ cm}, \quad r = 0.30 \text{ cm}$$

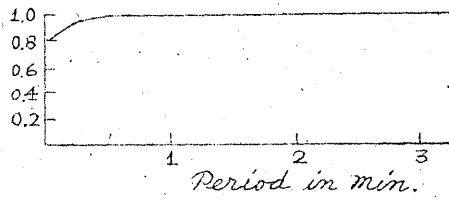
として振幅比および位相差を計算すると第46図のようになる。図に於いて明らかであるように、現在の場合変化の速さが問題になりうるのは1分以内の早い変化であるから、日平均値を議論するにあたっては、伸縮計に対する温度変化の影響には全くおくれのないものとしてよい。



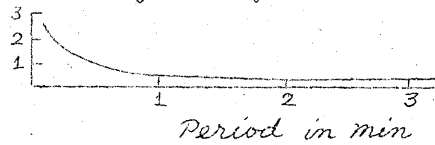
第 45 圖

第47図は第45図を15日
 づつの区間においてその平均に
 ついてえがいたものであるが、
 この15日平均値について温度
 対N'S'方向の伸縮の図をつく
 りは第48図のようになる。し
 ちかつて最小自乗法によつて、
 N'S'方向の土地の見掛けの膨
 張係数を求めることが出来る。
 同様な手続きを昭和23年3月
 ~6月の期間および昭和23年

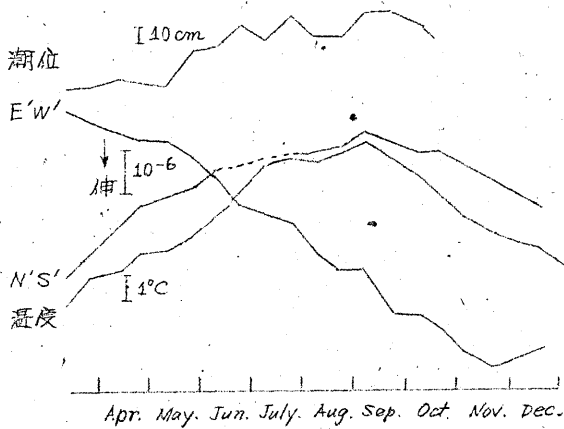
Amplitude ratio



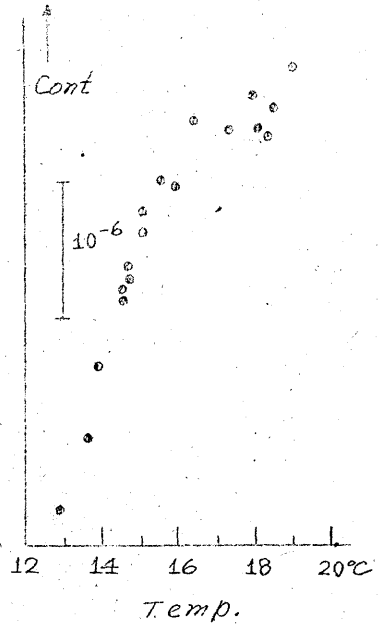
Phase lag in degree



第46図



第47図



第48図

3月12日に行つた連続観測の期間につ
 いて行つた結果を第V表にかかげる。参

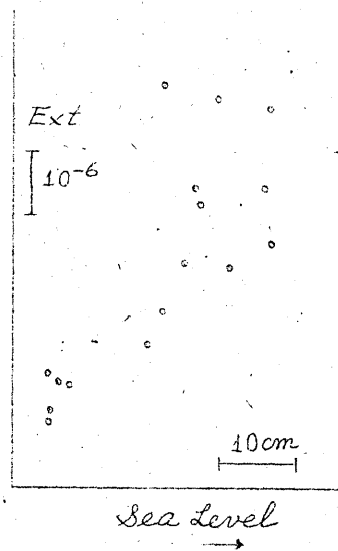
第V表 N'S'方向の土地の見掛けの膨張係数、単位 10^{-7}

全 期 間	3月~6月	3月12日	駒 場
-4.2	-3.5	-2.9	-2.6

考のために高橋博士が駒場に於いて得た値をも記しておく。

この結果からみて、また既に述べたように、N'S'成分が潮位変化に極めて敏感であることを考えあわせて、この1年間にN'S'成分にあらわれた変化は空位変化に伴うシリカ管および連結翼の伸縮であると考えて大なる支障を来さないと、勿論その膨脹係数は通常溶融シリカのものとして知られている値に大略一致しているのである。かくして吾々はこの1年間に於いてN'S'方向には土地の伸縮は殆どないと推論しうるであろう。

第45図および第47図に於いて、次に著しいことは、N'W'方向の伸縮計が昭和23年3~12月の期間に於て大略 6×10^{-6} の伸びを示していることである。この期間における温度上昇によるシリカ管の伸張を考慮すれば、この値はさらに大きくならなければならない。一方E'W'方向の伸縮が潮位変化に敏感であることはすでに述べたが、第45図をみると5~6日程度の短週期変動に於ては、潮位上昇及び下降に伴う土地の伸張および収縮がよくあらわれている。また15日平均値について潮位と伸縮の相関図を作ると第49図のようになり必ずしもよい相関を示さない。また昭和23年3月~6月の期間、同年3月12日の連続測定、およびさきに求めたM₂分潮について、潮位変化による伸縮率を計算した結果は第4表のようになり、長期変動に於いては係数が極めて大きく、この期間の温度上昇による補正を考慮するとさらにこの値は大きくなるべきである。以上の考察によりE'W'方向の大きな伸張をこの期間における潮位の上昇に直接伴う変動として解釈することは困難である。しかしながら、この変化が果して翼の



第49図

E'W'方向の伸びと潮位の関係

第VI表 潮位昇降と土地伸縮(E'W'方向)との関係

3月～6月	3月12日	M ₂ 分潮
2.9×10^{-6}	$(1.4 \pm 0.1) \times 10^{-6}$	0.86×10^{-6}

(但し潮位上昇1米についての伸張量)

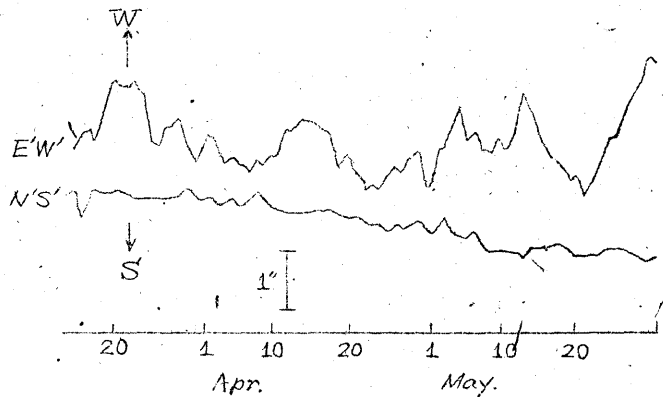
土地伸張を示すか否かという点には尚吟味すべき余地があり、コンクリートブロックの安定性やこの方式による伸縮計の総合的性能に関する検討が充分になされる迄は、一応このような変化が記録されたことを報告するにとどめたい。

昭和23年の末期に設置された8米伸縮計、超インバール製伸縮計および垂直型伸縮計の記録した結果については、設置後日浅いために何も述べることが出来ない。

シリカ傾斜計は数秒におよぶいちぢるしい年変化を示している。また温度の急変に伴う変化も如々に見られる。

水管傾斜計については、ときに述べたように白金尖端の故障のために充分な記録のえられなかつたことは眞に残念である。ことに昭和23年6月28日の福井地震に際して総員出張観測に参加したために、測定巻類の調整修理が不充分となつたので、7月以降の測定結果の信頼度は極めて悪いと思われる。第50図に水管傾斜計が良好に作働していた時期の測定結果を示す。

測定値は毎日16時の値である。前にも述べた通り、潮汐の影響が大であつて、特にE'W'成分に於いては10分の数秒に達する故、毎日の読みが



第50図 水管傾斜計により測定した変化

多少バラつくのはやむを得ない。

以上設置以來約1年間の測定結果についてのべたが、この期間中には地球物理学的意義をもつと考えられる著るしい異常変化は見当らないようである。三浦半島附近に於て著るしい地震活動もなかつたし、他の地球物理学的現象との相関関係はさらに長期にわたる観測結果の集積をまつて議論せられねばならない。

(未 完)

*Studies on the Deformation of the
Earth's Surface at Aburatsubo, Miura
Peninsula. (I)*

*By Takahiro Hagiwara,
Tsuneji Rikitake,
Juhei Yamada and
Keiichi Kasahara.*

(Earthquake Research Institute)

Contents

Introduction

Chapter I. Instruments

- 1. Water-tube tiltmeter*
- 2. Silica-tube extensometer*
- 3. Superinvar-wire extensometer*

*Chapter II. The deformations of the earth's
surface caused by the ocean-tide.*

- 1. Observational results.*
- 2. Changes of short period.*
- 3. Uniformity of the deformations.*
- 4. Strains.*

*Chapter III. Discussions about the deformation
caused by the ocean-tide.*

- 1. Treatment as a Boussinesq's problem.*
- 2. Influence of the topography.*

Chapter IV. Elastic constants of the rocks.

Chapter V. Long period variation.

十
文
外

(to be continue)

Abstract

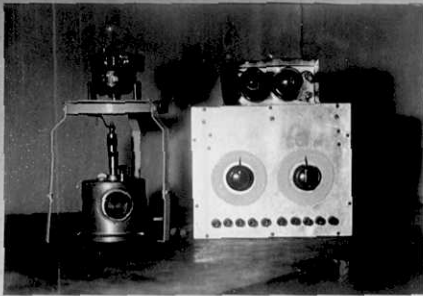
As often revealed at the time of great earthquakes, the crustal movements of the peninsulas of this country are of great interest. In order to study the character of the movement of peninsula, the writers set up various instruments at Aburatsubo, Miura Peninsula, where the tidal recording is continued since the beginning of this century and the leveling connecting there to Fujisawa at the neck of the peninsula was often repeated.

A pair of all-silica tiltmeters, water-tube tiltmeters and extensometers of various types are installed in a gallery in the south-east side of a hill in the site of the Marine Biological Station of the Tokyo University. Almost all the instruments are newly devised and constructed by the writers.

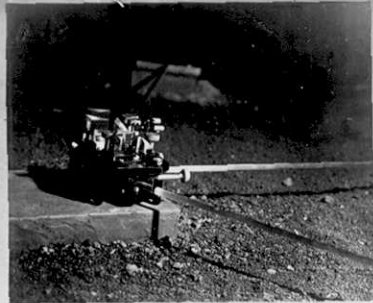
The observations began since march, 1948. The most remarkable result obtained up to this time is the fact that the deformations of the earth's surface caused by the ocean-tide are clearly recorded by the extensometers as well as by the tiltmeters. Analysing the results, we found that the deformations are so peculiar that they cannot be explained

from the stand - point of the theory of elasticity in isotropic medium.

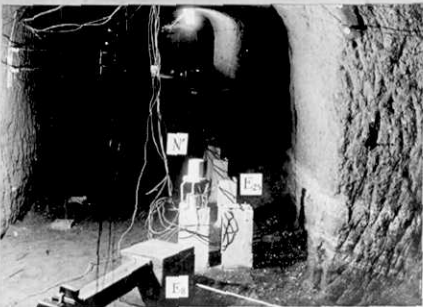
As to the variation of long period, discussions in detail will be made after making further observations.



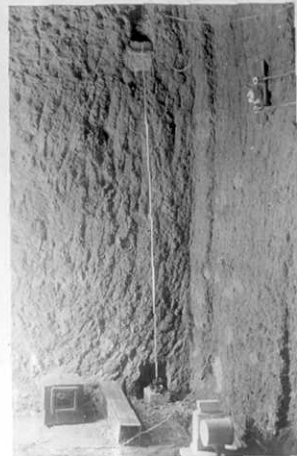
寫真1. 水管蠕變計遠隔測定裝置



寫真3. 小型三成分伸縮計



寫真2. 水管蠕變計N及垂直伸縮計
E₂₅, E₈.



寫真4. 垂直伸縮計

